

PREDICTION OF PHOTOSYNTHETIC RESPONSES BY MATHEMATICAL MODEL

गणितीय प्रतिरूप द्वारा मुख्य पादप कार्यकी अनुक्रियाओं का पूर्वांकितन



Krishna Kumar Verma ¹, Chhedi Lal Verma ², Munna Singh ¹, Yash Pal Singh ², T. Damodaran ², A. K. Singh ², Vinay Kumar Mishra ²



¹ Department of Botany, University of Lucknow – 226007, India

² Central Soil Salinity Research Institute, Regional Research Center, Lucknow – 226002, India

DOI: <https://doi.org/10.29121/granthaalayah.v8.i6.2020.402>

Article Type: Research Article

Article Citation: Krishna Kumar Verma, Chhedi Lal Verma, Munna Singh, Yash Pal Singh, T. Damodaran, A. K. Singh, and Vinay Kumar Mishra. (2020). PREDICTION OF PHOTOSYNTHETIC RESPONSES BY MATHEMATICAL MODEL. International Journal of Research - GRANTHAALAYAH, 1(1), 102-120. DOI: <https://doi.org/10.29121/granthaalayah.v8.i6.2020.402>

Received Date: 7 May 2020

Accepted Date: 22 June 2020

Keywords:

गणितीय
मुख्य पादप
अनुक्रियाओं का पूर्वांकितन

ABSTRACT

English: Plant photosynthetic responses such as photosynthesis, transpiration rate and stomatal conductance are interrelated. There is a definite tendency for variability between photosynthetic responses and leaf positions at different branches. The variability is in the form of diurnal variations relative to the leaf positions of photosynthesis, transpiration and stomatal conductance on the same branch of *Jatropha curcas* plants. This research paper presented shows that the correlation between plant photosynthetic responses through mathematical modeling. Through the proposed model, the characteristic of plant responses constants for jatropha plants were calculated and the different deviation from their observed value was calculated by calculating the different plant photosynthetic parameters. In the comparative study, the average deviation of the photosynthetic responses ranged from 1.69 - 13.21. This model can be easily used in calculating plant photosynthetic responses according to their leaf positions on the branches of other plants.

Hindi: पादप कार्यकी अनुक्रियायें यथा प्रकाश संश्लेषण, उत्स्वेदन एवं रंगीय चालकता परस्पर सह संबंधित हैं। शाखाओं पर विभिन्न स्थितियों पर अवस्थित पर्णों के पादप कार्यकी अनुक्रियाओं एवं पर्ण स्थिति के बीच परिवर्तनीयता की एक निश्चित प्रवृत्ति होती है। जट्रोफा की सरल शाखा पर स्थित विभिन्न पत्तियों के प्रकाश संश्लेषण, उत्स्वेदन दर एवं रंगी चालकता की पर्ण स्थिति के सापेक्ष परिवर्तनीयता एक घण्टाकृति के रूप में होती हैं। प्रस्तुत शोध पत्र में पादप कार्यकी अनुक्रियाओं के परस्पर सह संबंध को गणितीय सूत्र के माध्यम से दर्शाया गया है। प्रस्तावित प्रतिदर्श के द्वारा जट्रोफा के लिये अभिलाक्षणिक पादप कार्यकी युगल अनुक्रिया स्थिरांकों की गणना की गयी एवं उनसे विभिन्न पादप कार्यकी अनुक्रियाओं की गणना करके उनके प्रेक्षित मान से प्रतिशत विचलन की गणना की गयी। तुलनात्मक अध्ययन में कलित पादप कार्यकी अनुक्रियाओं का औसत विचलन 1.69 से 13.21% के बीच रहा। इस प्रतिदर्श का प्रयोग अन्यान्य पौधों के शाखाओं पर अवस्थित पत्तियों की उनकी स्थिति के अनुरूप पादप कार्यकी अनुक्रियाओं की गणना में सहजता पूर्वक किया जा सकता है।

1. प्रस्तावना

प्रकाश संश्लेषण, उत्खेदन एवं रंगी चालक एवं अन्य पादप कार्यकी अनुक्रियायें तथा उनसे संबंधित जैव-रासायनिक विकर नियत्रित अन्यान्य क्रियायें परस्पर संबंध रखती हैं और पौधों की उत्पादकता सुनिश्चित करती हैं। प्रकाश संश्लेषण और उससे संबंधित अन्य पादप क्रियायें जैसे प्रकाश संश्लेषण उत्खेदन एवं श्वेसन, रंगी चालकता आदि प्रकाश तीव्रता, वायुमण्डलीय आर्द्रता, तापक्रम, वायु वेग, मृदा स्वास्थ्य, मृदा से पोषक तत्वों की पूर्णता, मृदा आर्द्रता, पादप प्रजाति, वायुमण्डल में कार्बन डाइऑक्साइड की सान्द्रता, पादप स्वास्थ्य, आदि अनेक परिवर्तनशील कारकों पर निर्भर करता है। पौधों की विकसित हो रही शाखा एवं प्रशाखाओं पर नवीन पर्ण अथवा पर्णकों की पादप क्रियाओं का दर पूर्णरूप से विकासित पर्ण/पर्णकों की पादप क्रियाओं के दर से कम होता है। इसी प्रकार शाखाओं पर नीचे की ओर स्थित पुराने पर्ण/पर्णकों क्रियायें शिथिल पड़ने लगती हैं। एक पर्ण अथवा पर्णक जब नवसृजित होता है तो उसमें पर्ण हरित की मात्रा कम होने के कारण प्रकाश संश्लेषण एवं उससे सह संबंधित जैव रासायनिक क्रियायें की दर न्यूनतम स्तर पर रहती है। जैसे-2 पर्ण/पर्णकों का विकास होता है उसमें पर्णहरित की मात्रा बढ़ती जाती है एवं पर्णकों का क्षेत्रफल बढ़ता जाता है परिणामस्वरूप पादप कार्यकी अनुक्रियायें तीव्रतर होती जाती हैं। पूर्ण विकसित पर्ण में पर्णहरित की अधिकतम उपस्थिति तथा अधिकतम क्षेत्रफल प्रसार के कारण पादप कार्यकी प्रकाश आधारित अनुक्रियायें अधिकतम स्तर पर पहुंच जाती है। इस प्रकार एक शाखा अथवा प्रशाखा पर स्थित विभिन्न पर्णों की पादप कार्यकी की प्रकाशीय अनुक्रियायें भिन्न-2 दर से होती रहती हैं। एक पूर्ण विकसित शाखा पर स्थित विभिन्न पर्णों की प्रकाशीय अनुक्रियायें उनकी स्थिति पर निर्भर करती है। एक विशेष पादप प्रजाति की शाखा पर विभिन्न पर्ण स्थिति पर अवस्थित पर्ण की पादप कार्यकी अनुक्रियायें एक फलन के रूप में होती है। यदि पुराने पर्ण की स्थित एक मान ली जाये तो जैसे-2 शीर्ष की ओर बढ़ेंगे पर्ण स्थिति एक, दो, तीन, चार आदि नामांकित कर सकते हैं। इस क्रम को उल्टा करके भी पर्ण स्थिति को परिभाषित किया जा सकता है। पादप कार्यकी अनुक्रियायें ऊपर की ओर बढ़ने पर बढ़ती हैं और अधिकतम स्तर पर जाकर पुनः घटने लगती हैं। प्रकाश संश्लेषण एवं उनसे संबंधित पादप कार्यकी अनुक्रियायें जैसे उत्खेदन एवं रंगीय चालकता की परिवर्तनीयता में समरूपता होती है। इस समरूपता के कारण यदि कोई एक पादप कार्यकी प्रकाशीय अनुक्रिया ज्ञात हो तो अन्य अनुक्रियाओं की गणना के लिये गणितीय प्रतिरूप/प्रतिदर्श का विकास किया जा सकता है।

गणितीय प्रतिरूपों के माध्यम से पादप कार्यकी अनुक्रियाओं के अन्तर्गत, बहिर्गणन एवं सामान्य गणन में अत्यन्त सहजता आ जाती है। पादप कार्यकी अनुक्रियाओं को दैनिक रूप में विभिन्न पर्ण स्थितियों पर स्थित पर्णों का एक बड़े क्षेत्रफल पर मापन अत्यन्त श्रम साध्य एवं समयोपभोगी प्रक्रिया है। गणितीय प्रतिरूपों के माध्यम से पादपकार्यकी अनुक्रियाओं की गणना से उनके मापन में लगने वाले समय को तथा विशाल अंकड़ों के प्रबन्धन के श्रम में पर्याप्त कमी की जा सकती है। गणितीय प्रतिरूपों के माध्यम से पादप कार्यकी अनुक्रियाओं के समझने में बड़ी सहायता मिलती है। इन प्रतिरूपों के फलन से पादप की उत्पादकता ज्ञात करना पोषक तत्वों एवं सिंचाई जल के प्रबंधन में बड़ी सहायता मिलती है। प्रस्तुत शोध पत्र में जटोफा की शाखाओं पर विभिन्न स्थितियों पर अवस्थित पर्ण के पादप कार्यकी प्रमुख अनुक्रियाओं की गणना को प्रतिरूप के माध्यम से प्रस्तुत किया गया है।

जटोफा जैव-डीजल प्रदान करने वाला वैश्विक स्तर पर बहुचर्चित एक पौधा है। जटोफा एक सूखा प्रतिरोधी तेल प्रदान करने वाला पौधा है जो उष्ण कटिबंधीय एवं उपोष्ण जलवायु में बहुतायत में पाया जाता है। यह मध्य एवं दक्षिण अमेरिका, अफ्रीका, भारत एवं दक्षिण पूर्व एशिया में सहजता से उगाया जा सकता है। जटोफा के बीज में 25-32 प्रतिशत तेल होता है। विकासशील देशों की बढ़ती खनिज तेल की मांग उनके विकास में अवरोध उत्पन्न कर रही है। खनिज तेल का भण्डार सीमित होने के कारण भी खनिज तेल के वैकल्पिक स्रोतों की महत्ता बढ़ती जा रही है। भारतवर्ष में जटोफा के व्यापक स्तर पर उत्पादन की संस्कृति होती रही है। बहुत से गैर सरकारी संस्थान भी इसके सफल उत्पादन की दिशा में कार्यरत रहे हैं। जटोफा का उत्पादन कम उपजाऊ भूमियों, उपेक्षित भूमियों एवं परती भूमियों एवं व्यर्थ भूमियों में किये जाने की संस्कृति है। भारतवर्ष में एक अनुमान के अनुसार 120 लाख हेक्टेएर भूमि जलाक्रान्त एवं 6743 लाख हेक्टेएर भूमि लवणीय है। इन मृदाओं में जटोफा के व्यापक स्तर पर उत्पादन से पूर्व जटोफा के प्रमुख पादप कार्यकी अनुक्रियाओं का अध्ययन आवश्यक हो जाता है क्योंकि ये अनुक्रियायें उत्पादकता के प्रमुख सूचकांक हैं। वर्तमान अध्ययन जटोफा की प्रमुख शाखा/तने पर विभिन्न पर्ण स्थितियों पर अवस्थित पादप कार्यकी अनुक्रियाओं का अध्ययन किया गया तथा उनके परस्पर गणना के प्रतिरूप को विकसित किया गया।

1. सामग्री एवं विधि

1.1. पादप सामग्री एवं वृद्धि की दशायें

जटोफा के तने से 18-20 सेमी लम्बी कटिंग से तैयार की गयी 45 दिन पुरानी नवोद्धिद (पौध) को 30 सेमी व्यास एवं 40 सेमी गहरे गमले में उगाया गया। इन समान नवोद्धिद को जल की दो अवस्थाओं में बड़ा किया गया। जल की पहली अवस्था-क्षेत्र धारिता एवं दूसरी अवस्था जलाक्रान्त थी। जलाक्रान्त अवस्था गमले में 5 सेमी का सतत जल स्तर सृजित कर प्रतिरूपित किया गया। जल की दोनों अवस्थायें चार सप्ताह तक बनाये रखी गयी और जटोफा पत्तियों के प्रकाश संश्लेष्णीय निष्पादनों का मापन किया गया। जलाक्रान्त प्रतिबल अरोपण समाप्त होने पर मृदा आर्द्रता 6.5 ± 2.1 प्रतिशत एवं नियन्त्रित प्रयोग (क्षेत्र धारिता) में मृदा आर्द्रता 36 ± 1.5 प्रतिशत पायी गयी। प्रयोग में प्रयुक्त मृदा का मृदा विन्यास चिकनी-मटियार-भूँड (सिल्टी-क्ले-लोम) थी जिसका पी.एच. मान 7.1 था। जैव कार्बन, नत्रजन, फास्फोरस एवं पोटाश का स्तर क्रमशः 0.8%, 245, 35.5 एवं 172 किग्रा/हेक्टेएर था।

1.2. प्रकाश संश्लेषणीय अभिलक्षणों का मापन

शुद्ध कार्बन डाईआक्साइड स्वांगीकरण, उत्खेदन एवं रंगी चालकता का मापन सुवाहु अनावृत प्रणाली के CIRUS-1, IRGA के द्वारा (PP System, England) (प्राकृतिक प्रकाश में 9.00 से 10.00 बजे प्रातः) किया गया। उच्च तापक्रम एवं निम्न सापेक्ष आर्द्रता से बचने के लिये यह मापन फोटोन अभिवाह धनत्व के 1500-900 माइक्रोमोल/मी²/से से अधिक होने पर किया गया। यह मापन जटोफा पर्ण के एक से बाहर स्थिति के लिये किया गया।

2. परिकल्पना

जटोफा के मूल तने पर स्थित पत्तियों की मुख्य पादप कार्यकी अनुक्रियायें, प्रकाश संश्लेषण ए उत्खेदन तथा रंगी चालकता नीचे से ऊपर की ओर बढ़ने पर एक अधिकतम स्तर तक बढ़ती है और तत्पश्चात् पुनः घटते हुये क्रम से शीर्षस्थ पर्ण के न्यूनतम स्तर तक पहुँच जाती है। जटोफा करकर स एल के पादप कार्यकी अनुक्रियाओं का पर्ण स्थिति के अनुसार परिवर्तनीयता घटाकृति रूप में पदर्शित होती है।

किसी प्रणाली की सह संबद्धित अनुक्रियाओं में यदि समरूपता हो तो किन्हीं युगल अनुक्रियाओं का अनुपात स्थिर होता है। इसे निम्न प्रकार से सत्यापित कर सकते हैं। यदि किसी प्रणाली के सह संबंध अनुक्रियाओं में बहुधातीय गणितीय अनुरूपता है तो इन अनुक्रियाओं को सामान्य रूप में निम्नलिखित रूप में प्रकट किया जा सकता है।

$$R_{ix} = \alpha_i x^n \quad (1)$$

जहाँ $R_{ix} = x$ स्थिति पर स्थित पर्ण की पादप कार्यकी अनुक्रिया, i का मान
 α_i = अनुक्रिया ' i ' को प्रकट कराने वाला स्थिरांक
 n = अभिलाखणिक घातांक

यदि युगल अनुक्रियाओं में प्रमुख अनुक्रिया को निम्न रूप से प्रकट किया जाय।

$$R_{1x} = \alpha_i x^{n1} \quad (2)$$

एवं दूसरे अनुपूरक अनुक्रिया को निम्न रूप से प्रकट किया जा सके।

$$R_{2x} = \alpha_i x^{n2} \quad (3)$$

समीकरण (2) एवं (3) का अनुपात लेने पर

$$\frac{R_{1x}}{R_{2x}} = \frac{\alpha_1}{\alpha_2} \frac{x^{n1}}{x^{n2}} = \lambda x^c \quad (4)$$

यहाँ $\lambda = \alpha_1/\alpha_2 =$ स्थिरांक, $n_1-n_2 = c =$ स्थिरांक है।

x के विभिन्न मान के लिये R_{1x}/R_{2x} की गणना की जा सकती है।

जब $x=1$ होने पर,

$$\frac{R_{11}}{R_{22}} = \lambda_1 1^c = \xi_1 \quad (5)$$

ξ_1 = नया स्थिरांक

$x = 2$ होने पर,

$$\frac{R_{11}}{R_{22}} = \lambda_2 2^c = \xi_2 \quad (6)$$

ξ_2 = नया स्थिरांक

x = 3 होने पर,

$$\frac{R_{13}}{R_{23}} = \lambda_3 3^c = \xi_3 \quad (7)$$

ξ_3 = नया स्थिरांक

x = N होने पर,

$$\frac{R_{1N}}{R_{2N}} = \lambda_N N^c = \xi_N \quad (8)$$

ξ_N नया स्थिरांक

अतः स्थिति सापेक्ष अनुक्रियाओं के युगल अनुपात स्थिर रहते हैं।

उपरोक्त परिकल्पना के आधार पर किसी विशिष्ट प्रजाति के पादप के पर्ण स्थित सापेक्ष पादप कार्यकी अनुक्रियाओं की परिवर्तन के अनुक्रमिक अनुपात निश्चित रहता है। एक स्थान विशेष पर मृदा, जल एवं उर्वरता के अनुरूप इन स्थिरांकों को प्रयोग के माध्यम से पूर्व निर्धारित किया जा सकता है। किन्हीं युगल अनुक्रियाओं के एक का मान ज्ञात होने पर पूर्व आंकलित स्थिरांकों के माध्यम से दूसरी सह संबंधित अनुक्रिया के मान की गणना सहजता से की जा सकती है।

2.1. पादप कार्यकी युगल अनुक्रिया स्थिरांक

प्रमुख पादप कार्यकी अनुक्रिया, प्रकाश संश्लेषण, (PN) उत्स्वेदन (E) एवं रंगी चालकता (gs) के युगल अनुक्रिया स्थिरांकों (λ) को निम्नरूप से परिभाषित किया गया।

प्रकाश संश्लेषण-उत्स्वेदन दर स्थिरांक [$\lambda(PN-E)$]

$$\lambda_{(PN-E)x} = \frac{\text{शुद्ध कार्बन डाईआक्साइड स्वांगीकरण दर } (P_{Nx})}{\text{उत्स्वेदन दर}} = \frac{1}{\lambda_{(E-PN)x}} \quad (9)$$

प्रकाश संश्लेषण- रंगीय चालकता स्थिरांक [$\lambda(PN-gs)$]

$$\lambda_{(PN-gs)x} = \frac{\text{शुद्ध कार्बन डाईआक्साइड स्वांगीकरण दर } (P_{Nx})}{\text{रंगी चालकता } (g_{sx})} = \frac{1}{\lambda_{(PN-gs)x}} \quad (10)$$

उत्स्वेदन-शुद्ध कार्बन डाईआक्साइड स्वांगीकरण स्थिरांक [$\lambda_{(E-PN)}$]

$$\lambda_{(E-PN)x} = \frac{\text{उत्स्वेदन दर } (E_x)}{\text{शुद्ध कार्बन डाईआक्साइड स्वांगीकरण दर } (P_{Nx})} = \frac{1}{\lambda_{(PN-E)x}} \quad (11)$$

उत्स्वेदन-रंगीय चालकता स्थिरांक [$\lambda_{(E-gs)}$]

$$\lambda_{(E-gs)x} = \frac{\text{उत्स्वेदन दर } (E_x)}{\text{रंगीय चालकता } (g_s)} = \frac{1}{\lambda_{(gs-E)x}} \quad (12)$$

रंगीय चालकता-शुद्ध कार्बनडाईआक्साइड स्वांगीकरण स्थिरांक [$\lambda_{(gs-PN)}$]

$$\lambda_{(gs-PN)x} = \frac{\text{रंगीय चालकता } (g_{sx})}{\text{शुद्ध कार्बन डाईआक्साइड स्वांगीकरण दर } (P_{Nx})} = \frac{1}{\lambda_{(PN-gs)x}} \quad (13)$$

रंगीय चालकता - उत्स्वेदन स्थिरांक [$\lambda_{(gs-E)}$]

$$\lambda_{(gs-E)x} = \frac{\text{रंगीय चालकता } (g_{sx})}{\text{उत्स्वेदन दर } (E_x)} = \frac{1}{\lambda_{(E-gs)x}} \quad (14)$$

यहाँ λ_x प्रमुख पादप कार्यकी अनुक्रिया युगल की पर्णस्थित, ग के अनुरूप स्थिरांक है। निश्चित वायुमण्डलीय कारकों (सौर विकरण, वायुमण्डलीय आर्द्रता वायु मण्डलीय तापक्रम एवं वायु गति, मृदा कारकों (मृदा प्रकार उर्वरता स्थित, मृदा आर्द्रता, मृदा की भौतिक एवं रासायनिक गुणों) एवं पादप कारकों (पादप प्रकार एवं प्रजाति) के लिये ये स्थिरांक नियत रहते हैं।

3. गणना विधि

विभिन्न पर्ण स्थितियों के लिये शुद्ध कार्बन डाई आक्साइड स्वांगीकरण दर, उत्स्वेदन दर एवं रंगीय चालकता का मान सारणी 1 से एवं उनके क्रमिक अनुक्रिया युगल स्थिरांक सारणी 1-3 में नियन्त्रित प्रयोग दशा के लिये तथा सारणी 4-6 में जलाक्रान्त दशा के लिये दर्शायि गये है। विभिन्न पादप कार्यकी अनुक्रियाओं युगल स्थिरांकों की गणना समीकरण 9-14 के अनुसार की गयी। स्थिरांकों की गणना के लिये औसत पादप कार्यकी अनुक्रियाओं के मान को प्रयोग में लाया गया। स्थिरांकों की गणना के पश्चात् अज्ञात पादप कार्यकी अनुक्रियाओं के मान की गणना निम्न सूत्रों के प्रयोग से की गयी।

अ उत्स्वेदन दर (E) से शुद्ध कार्बन डाई आक्साइड स्वांगीकरण दर (P_{N-E}) की गणना

$$P_{N-E} = \lambda_{(E-P_N)x} \times E_{RN} \quad (15)$$

ब रंगीय चालकता से शुद्ध कार्बन डाई आक्साइड स्वांगीकरण दर (P_{N-gs}) की गणना

$$P_{N-g_s} = \lambda_{(P_N g_s)x} \times g_{sRN} \quad (16)$$

स शुद्ध कार्बन डाई आक्साइड स्वांगीकरण दर से उत्स्वेदन दर (EPN) की गणना

$$E_{P_{Ns}} = \lambda_{(E-P_{Ns})x} \times P_{NRN} \quad (17)$$

द रंगी चालकता से उत्स्वेदन दर (gs_{PN}) की गणना

$$g_{sP_N} = \lambda_{(E-g_s)x} \times g_{sRN} \quad (18)$$

य शुद्ध कार्बन डाई आक्साइड स्वांगीकरण दर से रंगी चालकता (gs_{PN}) की गणना

$$g_{sP_N} = \lambda_{(g_s - P_{Ns})x} \times P_{NRN} \quad (19)$$

र उत्स्वेदन दर से रंगी चालकता, हैम्डर की गणना

$$g_{sE} = \lambda_{(g_s E)x} \times E_{NRN} \quad (20)$$

पूर्वकालिक ;ज्ञातद्वय युगल अनुक्रिया स्थिरांको से प्रमुख पादप कार्यकी अनुक्रियाओं की गणना को नियन्त्रित दशाओं के लिये सारणी 1-3 में तथा जलाक्रान्त दशा के लिये सारणी 4-6 में दर्शाया गया है। गणना द्वारा ज्ञात किये गये शुद्ध कार्बनडाईआक्साइड स्वांगीकरण दर, उत्स्वेदन दर तथा रंगी चालकता दर के प्रेक्षित दरों के सापेक्ष प्रतिशत विचलन एवं मूल माध्य विचलन की गणना निम्न प्रकार से की गयी।

$$\text{प्रतिशत विचलन} = \frac{\text{प्रेक्षित मान} - \text{कलित मान}}{\text{प्रेक्षित मान}} \times 100 \quad (21)$$

$$\text{मूलमाध्य वर्ग विचलन} = \left[\frac{\sum (\text{प्रेक्षित मान} - \text{कलित मान})^2}{N} \right]^{1/2} \quad (22)$$

प्रतिशत विचलन एवं मूलमाध्य वर्ग विचलन की गणना को सारणी 7-9 नियन्त्रित दशा के लिये तथा सारणी 10-12 में जलाक्रान्त दशा के लिये दर्शाया गया है।

4. परिणाम एवं विवेचना

4.1. पादप कार्यकी युगल अनुक्रिया अभिलाक्षणिक स्थिरांक

पर्ण स्थिति के अनुरूप पादप कार्यकी युगल अनुक्रिया अभिलाक्षणिक स्थिरांक को सारणी 1 से 6 में दर्शाया गया है। प्रकाश संश्लेषण उत्स्वेदन स्थिरांक (λ_{PNE}) दशा के लिये 1.05 से 3.65 तथा नियन्त्रित प्रायोगिक दशा के लिये 1.23 से 2.88 के बीच रहा। इसी प्रकार प्रकाश संश्लेषण रंग चालकता स्थिरांक ' λ_{PNEg} ' जलाक्रान्त दशा के लिये 0.07 से 0.22 के बीच और नियन्त्रित प्रयोगिक परीक्षण के लिए 0.06 से 0.12 के बीच रहा। उत्स्वेदन-शुद्ध कार्बन डाईआक्साइड स्वांगीकरण स्थिरांक λ_{EPN} 0.35 से 0.69 के बीच नियंत्रित प्रायोगिक परीक्षण के लिये तथा 0.27 से 0.95 के बीच जलाक्रान्त दशा के लिये और उत्स्वेदन रंगी चालकता स्थिरांक " λ_{gsE} " 0.02 से 0.06 के बीच नियन्त्रित प्रयोगिक परीक्षण दशा के लिये एवं 0.03 से 0.07 के बीच जलाक्रान्त की दशा में पाया गया। इसी प्रकार रंगी चालकता-कार्बन डाईआक्साइड स्वांगीकरण स्थिरांक λ_{gsPN} एवं रंगी चालकता उत्स्वेदन स्थिरांक " λ_{gsE} " क्रमशः 8.50 से 16.58 के बीच और 16.22 से 41.45 नियन्त्रित प्रयोगिक परीक्षण दशा के लिये तथा 4.62 से 15.00 के बीच और 15.38 से 37.84 के बीच जलाक्रान्त दशा के लिये पाये गये।

4.2. कलित पादप कार्यकी अनुक्रियाओं की तुलना

कलित पादप कार्यकी अनुक्रियाओं को सारणी 1 से 3 में नियन्त्रित दशा एवं सारणी 4 से 6 में जलाक्रान्त दशा के लिये उल्लेखित है। प्रेक्षित पादप कार्यकी अनुक्रियाओं के सापेक्ष कलित पादप क्रियाओं का प्रतिशत विचलन एवं माध्य विचलन वर्गमूल को सारणी 7-9 में नियन्त्रित दशा के लिये और सारणी 10-12 में जलाक्रान्त दशाओं के लिये प्रस्तुत किया गया है। प्रेक्षित एवं कार्बन डाईआक्साइड स्वांगीकरण को चित्र 1 प्रेक्षित एवं कलित उत्स्वेदन को चित्र 2 एवं प्रेक्षित एवं कलित रंगीय चालकता को चित्र 3 में अरेखित किया गया है।

चित्र 1 तथा सारणी 1 को देखने से ज्ञात होता है कि कलित एवं प्रेक्षित शुद्ध कार्बन डाईआक्साइड स्वांगीकरण दर एक घटाकृति के रूप में एक दूसरे के निकटस्थ है। सारणी 7 को देखने से ज्ञात होता है कि नियंत्रित दशा के लिए उत्स्वेदन के प्रेक्षित मान से कलित शुद्ध कार्बन डाईआक्साइड स्वांगीकरण दर का % विचलन परास +0.69 से 20.18% प्रथम प्रतिकृति, 0.00 से +3.53% द्वितीय प्रतिकृति एवं -1.59 से +15.61% तृतीय प्रति

गणितीय प्रतिरूप द्वारा मुख्य पादप कार्यकी अनुक्रियाओं का पूर्वांकलन

कृति के लिये रहा और इनका माध्य विचलन वर्ग का मूल क्रमशः 0.3614, 0.1091 और 0.2864 रहा। इसी प्रकार रंगीय चालकता से कलित शुद्ध कार्बन डाईआक्साइड स्वांगीकरण दर का प्रतिशत विचलन परास प्रथम प्रतिकृति के लिये 0.00 से +9.44%, द्वितीय प्रतिकृति के लिये 0.00 से -14.73% और तृतीय प्रतिकृति के लिये 0.00 से +12.82% रहा और संगत औसत विचलन क्रमशः 4.72, 2.90 एवं 2.38% रहा जबकि माध्य विचलन वर्ग का मूल 0.4367, 0.5075 एवं 0.3601 रहा।

इसी प्रकार चित्र 2ए सारणी 2 तथा सारणी 8 को देखने से ज्ञात होता है कि शुद्ध कार्बन डाईआक्साइड स्वांगीकरण से कलित उत्स्वेदन दर का प्रतिशत विचलन परास प्रथम प्रतिकृति अनुप्रयोग के लिये +0.32 से +16.79%, द्वितीय प्रतिकृति अनुप्रयोग के लिय 0.22 से -3.66% एवं तृतीय प्रतिकृति अनुप्रयोग के लिये +1.30 से -18.50% जबकि इनके संगत औसत: विचलन 5.80 ए 1.70 एवं 5.58% तथा माध्य विचलन वर्ग का मूल 0.1716, 0.0569 एवं 0.1350 रहा। रंगीय चालकता से कलित उत्स्वेदन दर का: विचलन परास 0.00 से +19.47% प्रथम प्रतिकृति अनुप्रयोग के लिये, -1.17 से -15.37% द्वितीय प्रतिकृति अनुप्रयोग के लिये, 0.00 से -18.40%, तृतीय प्रतिकृति अनुप्रयोग के लिये रहा। इनके संगत औसत प्रतिशत विचलन 6.71, 4.51 एवं 6.01% रहा जबकि माध्य विचलन वर्ग का मूल 0.2039, 0.2474 एवं 0.1954 रहा।

चित्र 3, सारणी 3 तथा सारणी 9 को देखने से ज्ञात होता है कि शुद्ध कार्बन डाईआक्साइड स्वांगीकरण से रंगीय चालकता का प्रतिशत विचलन परास 0.00 से 10.43, 0.00 से +12.84%, एवं 0.00 से 14.71% क्रमशः प्रथम, द्वितीय तथा तृतीय प्रतिकृति अनुप्रयोग के लिये पाया गया जबकि इनका संगत औसत प्रतिशत विचलन 4.84, 4.33 एवं 3.87% जबकि माध्य विचलन वर्ग का मूल 4.5987, 5.4724 तथा 3.9477 रहा। इसी प्रकार उत्स्वेदन दर से कलित रंगीय चालकता का परास प्रथम, द्वितीय एवं तृतीय प्रतिकृति अनुप्रयोग के 0.00 से -24.58%, +1.16 से 13.32% तथा 0.00 से +15.54% रहा जबकि इनका संगत औसत प्रतिशत विचलन 7.43 ए 4.27 और 5.83% तथा माध्य विचलन वर्ग का मान 4.6322, 5.6754 एवं 4.0070 रहा। नियन्त्रित प्रयोगात्मक परीक्षण के लिये कलित पादप कार्यकी अनुक्रियाओं मुख्यतः शुद्ध कार्बन डाईआक्साइड स्वांगीकरण दर, उत्स्वेदन दर एवं रंगीय चालकता का औसत प्रतिशत विचलन 1.69% से 7.73% मात्र रहा अतः प्रस्तावित फलन प्रतिदर्श; माडलद्व पादप कार्यकी अनुक्रियाओं की गणना में नियन्त्रित प्रयोग के प्रतिरूप अनुप्रयोगों के लिये सफल रहा।

जलाक्रान्त दशा के लिये कलित पादप कार्यकी अनुक्रियाओं का प्रतिशत विचलन एवं माध्य विचलन वर्ग का मूल सारणी 10ए 11 एवं 12 में दर्शाया गया है। चित्र 1, सारणी 4 तथा सारणी 10 को देखने से ज्ञात होता है कि उत्स्वेदन दर से कलित शुद्ध कार्बन डाईआक्साइड स्वांगीकरण दर का प्रतिशत विचलन परास +0.28 से -57.90%, +1.58 से -42.87% एवं +1.31 से 26.72% रहा जबकि इनका संगत औसत प्रतिशत विचलन मात्र 10.91, 10.11 एवं 8.40% और माध्य विचलन का मूल 0.2392, 0.1902 एवं 0.2270 रहा। इसी प्रकार रंगीय चालकता से कलित शुद्ध कार्बन डाईआक्साइड स्वांगीकरण दर का प्रतिशत विचलन परास -0.19 से +35.73%, +1.31 से -42.87% तथा 0.00 से 16.67% रहा और इनका संगत औसत प्रतिशत विचलन परास 11.17, 10.31 एवं 6.33% और माध्य विचलन वर्ग का मूल 0.1611, 0.1660 तथा 0.1445 रहा।

चित्र 2, सारणी 5 तथा सारणी 11 को देखने से ज्ञात होता है कि शुद्ध कार्बन डाईआक्साइड स्वांगीकरण दर से कलित उत्स्वेदन दर का प्रतिशत विचलन परास -0.21 प्रतिशत से +36.71%, +0.76 से 30.00% एवं -1.33 से -21.27% और उनके संगत औसत विचलन परास 9.35, 9.96 एवं 8.21% जबकि माध्य विचलन वर्ग का मान 0.0977 ए 0.0812 एवं 0.0996 रहा। इसी प्रकार रंगीय चालकता से कलित उत्स्वेदन दर का प्रतिशत विचलन परास +0.56 से +28.00%, 0.00 से -15.14% एवं 0.00 से -24.14% रहा। इनके संगत औसत प्रतिशत विचलन 11.61, 5.48 एवं 8.46% तथा माध्य विचलन वर्ग का मूल 0.088, 0.0548 एवं 0.0814 रहा।

चित्र 3ए सारणी 6 तथा सारणी 12 को देखने से ज्ञात होता है कि शुद्ध कार्बन डाईआक्साइड स्वांगीकरण दर से कलित रंगीय चालकता का प्रतिशत विचलन प्रथम, द्वितीय एवं तृतीय प्रतिरूप अनुप्रयोगों के लिये क्रमशः: +0.19 से -55.56%, -1.33 से +36.00%, 0.00 से +4.29% रही और उनके संगत औसत प्रतिशत विचलन 13.06, 9.65 एवं 5.88% और माध्य विचलन वर्ग की मूल 1.4677, 1.7429 एवं 1.3510 रहा। इसी प्रकार उत्स्वेदन से कलित रंगीय चालकता का प्रतिशत विचलन परास -0.57 से -38.89%, 0.00 से -18.54% एवं 0.00 से +19.45% और उनके संगत परास 13.21, 5.35 एवं 7.99% रहा जबकि उनका माध्य विचलन वर्ग का मूल 2.2123, 1.5386 एवं 2.2547 रहा। जलाक्रान्त दशा के लिये कलित पादप कार्यकी अनुक्रियाओं का प्रतिशत विचलन परास एवं उनके संगत औसत प्रतिशत विचलन एवं माध्य विचलन वर्ग का मूल नियन्त्रित प्रयोगिक प्रेक्षणों के कलित अनुक्रियाओं से अधिक रहा। जलाक्रान्त दशा में कलित पादप कार्यकी अनुक्रियाओं का औसत विचलन का परास 5.35 से 13.21% रहा जो कि स्वीकार्य योग्य है। उपरोक्त प्रयोगिक प्रेक्षणों एवं तुलनात्मक तथ्यों से प्रस्तावित प्रतिरूप की सार्थकता प्रमाणित होती है। इस प्रतिरूप का प्रयोग सफलतापूर्वक पादप कार्यकी अनुक्रियाओं के पूर्वकथन के लिये किया जा सकता है।

5. निष्कर्ष

पादप कार्यकी अनुक्रियाओं का सीधा संबंध पौधों की उत्पादकता से होता है। पादप कार्यकी अनुक्रियायें मृदाए जलए स्थानीय वातावरण एवं उनके पोषण तत्वों की आपूर्ति से नियन्त्रित होती है। पादप कार्यकी अनुक्रियाओं के अधिकतम स्तर पर बनाये रखने पर ही अधिकतम उत्पादन लेना सुनिश्चित किया जा सकेगा। किसी भी प्रजाति की अधिकतम पादप कार्यकी अनुक्रियाओं का बनाये रखने के लिये उनकी अनुक्रियाओं का मापन आवश्यक हो जाता है। सतत एवं सघन मापन श्रमसाध्य, समयोपयोगी एवं व्ययशील है। गणितीय प्रतिदर्श के माध्यम से इस कमी को सहजता से पूरा किया जा सकता है। पादप कार्यकी अनुक्रियाओं की परिवर्तनीयता एक ही शाखा पर अवस्थित पर्ण स्थित के सापेक्ष एक निश्चित प्रवृत्ति रखती है। यदि किसी क्षेत्र को अधिकतम पादप कार्यकी अनुक्रियाओं तक पहुँचाना हो तो पौधों के समस्त पर्णों की अधिकतम अनुक्रिया सुनिश्चित करना अनिवार्य होगा। पुनः समस्त पादपों के समस्त पर्णों की पादप अनुक्रियाओं को आंकलित करने के गणितीय सूत्र की आवश्यकता पड़ती है। जटोफा बायोडीजल प्रदान करने वाला एक बहुचर्चित पौधा है। अनुप्रयोगी भूमियों में इसके उत्पादन की संस्तुति की जाती हैं। जलाक्रान्त एवं लवण प्रभावित भूमियों में भी इसके उत्पादन के प्रयास हुये हैं। वर्तमान शोध पत्र में जटोफा की शाखा पर अवस्थित पर्णों के पादप कार्यकी अनुक्रियाओं के पूर्वकथन के लिये एक गणितीय प्रतिदर्श का विकास किया गया है। गणितीय प्रतिदर्श से आंकलित अनुक्रियाओं का औसत प्रतिशत विचलन 1.69 से 13.21%

के बीच रहा। जलाक्रांत दशा में गणितीय प्रतिदर्श का औसत विचलन नियन्त्रित प्रयोग की तुलना में अधिक पाया गया। इस गणितीय प्रतिदर्श का उपयोग अन्यान्य पौधों के पादप कार्यकी की अनुक्रियाओं के पूर्वकथन में सहजता से किया जा सकता है।

सारणी 1: सामान्य दशा के लिए उत्स्वेदनएवं रंभीय चालकता से प्रकाश संश्लेषण की गणना।

L _P	P _{RN}			P _{mean}	E _{mean}	g _s mean	$\lambda_{(PN-E)} = (P_{mean}/E_{mean})$	$\lambda_{PN-gs} = (P_{mean}/g_{s mean})$	P _{N-E-RN}			P _{N-gs-RN}		
	P _{N R1}	P _{N R2}	P _{N R3}						P _{N E-R1}	P _{N E-R2}	P _{N E-R3}	P _{N gs-R1}	P _{S-R2}	P _{S-R3}
1	0.8	1.1	1.2	1.03	0.50	10.33	2.07	0.10	0.93	1.07	1.10	0.80	1.10	1.20
2	1.1	1.3	1.4	1.27	0.51	21.00	2.50	0.06	1.23	1.30	1.28	1.15	1.33	1.33
3	2.7	2.8	3.0	2.83	2.31	39.00	1.23	0.07	2.80	2.76	2.94	2.91	2.98	2.62
4	5.1	5.5	5.4	5.33	2.56	45.33	2.08	0.12	5.68	5.31	5.01	5.41	5.18	5.41
5	6.5	6.9	6.7	6.70	4.12	87.33	1.63	0.08	6.52	6.75	6.83	6.52	6.83	6.75
6	14.0	13.8	13.6	13.80	5.69	151.00	2.42	0.09	13.67	13.91	13.82	14.62	12.98	13.80
7	12.8	13.2	13.1	13.03	5.32	136.00	2.45	0.10	12.30	13.23	13.57	11.98	13.42	13.70
8	9.8	9.6	9.2	9.53	4.63	103.00	2.06	0.09	9.73	9.55	9.32	9.26	11.01	8.33
9	8.8	8.5	8.4	8.57	4.10	86.00	2.09	0.10	8.40	8.69	8.61	7.97	8.87	8.87
10	7.1	7.9	8.0	7.67	2.66	76.00	2.88	0.10	7.71	7.80	7.48	7.06	8.07	7.87
11	3.5	3.3	3.3	3.37	2.33	41.00	1.44	0.08	3.32	3.41	3.37	3.20	3.53	3.37
12	2.5	2.9	2.8	2.73	1.75	28.33	1.56	0.10	3.00	2.83	2.36	2.41	2.99	2.80

L_P = पर्ण स्थित, P_{RN=N} वें अनुप्रयोग की प्रकाश संश्लेषणीय अनुक्रिया, P_{औसत} = अनुप्रयोगों का औसत प्रकाश संश्लेषण, E_{औसत} = अनुप्रयोगों का औसत उत्स्वेदन, g_s_{औसत} = अनुप्रयोगों का औसत रंभीय चालकता, $\lambda_{(PN-E)}$ = प्रकाश संश्लेषण-उत्स्वेदन दर स्थिरांक, $\lambda_{(PN-gs)}$ = प्रकाश संश्लेषण- रंभीय चालकता स्थिरांक, P_{N-E-RN=N} वें अनुप्रयोग के लिये उत्स्वेदन से कलित प्रकाश संश्लेषण, P_{N-gs-RN=N} वें अनुप्रयोग के लिये रंभीय चालकता से कलित प्रकाश संश्लेषण

सारणी 2: सामान्य दशा के लिए प्रकाश संश्लेषण एवं रंभीय चालकता से उत्स्वेदन की गणना।

L _P	E _{RN}			E _{mean}	P _{N mean}	g _s mean	$\lambda_{E-PN} = (E_{mean}/P_{N mean})$	$\lambda_{E-gs} = (E_{mean}/g_{s mean})$	E _{PN-RN}			E _{gs-RN}		
	E _{R1}	E _{R2}	E _{R3}						E _{PN-R1}	E _{PN-R2}	E _{PN-R3}	E _{gs-R1}	E _{gs-R2}	E _{gs-R3}
1	0.45	0.52	0.53	0.50	1.03	10.33	0.48	0.05	0.39	0.53	0.58	0.39	0.53	0.58
2	0.49	0.52	0.51	0.51	1.27	21.00	0.40	0.02	0.44	0.52	0.56	0.46	0.53	0.53
3	2.28	2.25	2.4	2.31	2.83	39.00	0.82	0.06	2.20	2.28	2.45	2.37	2.43	2.13
4	2.73	2.55	2.41	2.56	5.33	45.33	0.48	0.06	2.45	2.64	2.60	2.60	2.49	2.60
5	4.01	4.15	4.20	4.12	6.70	87.33	0.61	0.05	4.00	4.24	4.12	4.01	4.20	4.15
6	5.64	5.74	5.70	5.69	13.80	151.00	0.41	0.04	5.78	5.69	5.61	6.03	5.35	5.69
7	5.02	5.40	5.54	5.32	13.03	136.00	0.41	0.04	5.22	5.39	5.35	4.89	5.48	5.59
8	4.73	4.64	4.53	4.63	9.53	103.00	0.49	0.04	4.76	4.67	4.47	4.50	5.35	4.05
9	4.02	4.16	4.12	4.10	8.57	86.00	0.48	0.05	4.21	4.07	4.02	3.81	4.24	4.24
10	2.68	2.71	2.60	2.66	7.67	76.00	0.35	0.04	2.47	2.74	2.78	2.45	2.80	2.73
11	2.30	2.36	2.33	2.33	3.37	41.00	0.69	0.06	2.42	2.28	2.28	2.22	2.44	2.33
12	1.92	1.81	1.51	1.75	2.73	28.33	0.64	0.06	1.60	1.85	1.79	1.54	1.91	1.79

L_P = पर्ण स्थित, E_{RN=N} वें अनुप्रयोग का उत्स्वेदन दर, P_{औसत} = अनुप्रयोगों का औसत प्रकाश संश्लेषण, E_{औसत} = अनुप्रयोगों का औसत उत्स्वेदन, g_s_{औसत} = अनुप्रयोगों का औसत रंभीय चालकता, $\lambda_{(E\mu PN)}$ = उत्स्वेदनप्रशुद्ध कार्बन डाइआक्साइड स्वांगीकरण स्थिरांक, $\lambda_{(gs\mu E)}$ = उत्स्वेदनप्रंभीय चालकता स्थिरांक, E_{PNμRN=N} वें अनुप्रयोग के लिये प्रकाश संश्लेषण से कलित उत्स्वेदन दर, E_{gsμRN=N} वें अनुप्रयोग के लिये रंभीय चालकता से उत्स्वेदन दर

सारणी 3: सामान्य दशा के लिए प्रकाश संश्लेषण एवं उत्स्वेदन से रंभीय चालकता की गणना।

L _P	g _s RN			g _s mean	P _N mean	E _{mean}	$\lambda_{gs\mu PN} = (g_s mean/P_N mean)$	$\lambda_{gs\mu E} = (g_s mean/E mean)$	g _s PN-RN			g _s E-RN		
	g _s R1	g _s R2	g _s R3						g _s PN-R1	g _s PN-R2	g _s PN-R3	g _s E-R1	g _s E-R2	g _s E-R3
1	8	11	12	10.33	1.03	0.50	10.00	20.67	8.00	11.00	12.00	9.30	10.75	10.95
2	19	22	22	21.00	1.27	0.51	16.58	41.45	18.24	21.55	23.21	20.31	21.55	21.14

गणितीय प्रतिरूप द्वारा मुख्य पादप कार्यकी अनुक्रियाओं का पूर्वांकलन

3	40	41	36	39.00	2.83	2.31	13.76	16.88	37.16	38.54	41.29	38.49	37.99	40.52
4	46	44	46	45.33	5.33	2.56	8.50	17.69	43.35	46.75	45.90	48.28	45.10	42.62
5	85	89	88	87.33	6.70	4.12	13.03	21.20	84.73	89.94	87.33	85.00	87.97	89.03
6	160	142	151	151.00	13.80	5.69	10.94	26.52	153.19	151.00	148.81	149.59	152.24	151.18
7	125	140	143	136.00	13.03	5.32	10.43	25.56	133.57	137.74	136.70	128.33	138.05	141.62
8	100	119	90	103.00	9.53	4.63	10.80	22.23	105.88	103.72	99.40	105.15	103.15	100.70
9	80	89	89	86.00	8.57	4.10	10.04	20.98	88.34	85.33	84.33	84.32	87.26	86.42
10	70	80	78	76.00	7.67	2.66	9.91	28.54	70.38	78.31	79.30	76.48	77.33	74.19
11	39	43	41	41.00	3.37	2.33	12.18	17.60	42.62	40.19	40.19	40.47	41.53	41.00
12	25	31	29	28.33	2.73	1.75	10.37	16.22	25.91	30.06	29.02	31.15	29.36	24.49

L_P = पर्ण स्थित, $g_{S RN} = N$ वें अनुप्रयोग की रंगीय चालकता, $P_{ओसत} = \text{अनुप्रयोगों का औसत प्रकाश संश्लेषण}$, $E_{ओसत} = \text{अनुप्रयोगों का औसत उत्स्वेदन}$, $g_{S ओसत} = \text{अनुप्रयोगों का औसत रंगीय चालकता}$, $\lambda(g_{S\mu PN}) = \text{रंगीय चालकता}_\mu \text{शुद्ध कार्बन डाईआक्साइड स्वांगीकरण स्थिरांक}$, $\lambda(g_{S\mu E}) = \text{रंगीय चालकता उत्स्वेदन स्थिरांक}$, $g_{SPN\mu RN} = N$ वें अनुप्रयोग के लिये प्रकाश संश्लेषण से कलित रंगीय चालकता, $g_{g E\mu RN} = N$ वें अनुप्रयोग के लिये उत्स्वेदन दर से कलित रंगीय चालकता

सारणी 4: जलाक्रान्त दशा के लिए उत्स्वेदन एवं रंगीय चालकता से प्रकाश संश्लेषण की गणना।

L_P	P_N RN			P_N mean	E_mean	g_s mean	$\lambda_{E\mu PN} = (P_N \text{ mean} / E_{\text{mean}})$	$\lambda_{g_{S\mu PN}} = (P_N \text{ mean} / g_s \text{ mean})$	P_N E-RN			P_N gs-RN		
	P_N R1	P_N R2	P_N R3						P_N E- R1	P_N E- R2	P_N E- R3	P_N gs- R1	P_N gs- R2	P_N gs- R3
1	0.1	0.3	0.2	0.20	0.19	3.00	1.05	0.07	0.16	0.23	0.21	0.13	0.27	0.20
2	0.4	0.3	0.5	0.40	0.28	4.67	1.43	0.09	0.36	0.43	0.41	0.26	0.43	0.51
3	0.9	1.0	0.9	0.93	0.51	10.33	1.82	0.09	0.84	0.96	1.00	0.99	0.81	0.99
4	1.8	2.0	1.8	1.87	0.78	14.33	2.39	0.13	1.79	1.94	1.87	1.69	1.95	1.95
5	1.9	2.1	2.5	2.17	1.30	23.33	1.67	0.09	2.07	2.25	2.18	1.86	2.32	2.32
6	5.9	5.8	6.2	5.97	2.41	69.00	2.48	0.09	5.15	6.14	6.61	5.62	6.05	6.23
7	4.9	5.1	5.1	5.03	1.90	48.00	2.65	0.10	4.93	5.14	5.03	4.72	5.35	5.03
8	3.1	3.5	3.6	3.40	1.11	42.00	3.06	0.08	3.09	3.37	3.74	3.08	3.64	3.48
9	2.6	3.0	2.9	2.83	0.95	29.67	2.98	0.10	2.71	2.95	2.83	2.39	2.96	3.15
10	1.9	2.5	2.0	2.13	0.83	23.33	2.56	0.09	1.84	2.02	2.53	1.92	2.29	2.19
11	1.6	2.1	2.0	1.90	0.52	10.67	3.65	0.18	1.83	1.97	1.90	1.60	1.96	2.14
12	1.2	1.4	1.3	1.30	0.39	6.00	3.33	0.22	1.07	1.47	1.37	0.87	1.52	1.52

L_P = पर्ण स्थित, $P_{RN} = N$ वें अनुप्रयोग की प्रकाश संश्लेषणीय अनुक्रिया, $P_{ओसत} = \text{अनुप्रयोगों का औसत प्रकाश संश्लेषण}$, $E_{ओसत} = \text{अनुप्रयोगों का औसत उत्स्वेदन}$, $g_{S ओसत} = \text{अनुप्रयोगों का औसत रंगीय चालकता}$, $\lambda(P_{N-E}) = \text{प्रकाश संश्लेषण-उत्स्वेदन दर स्थिरांक}$, $\lambda(P_{N-gs}) = \text{प्रकाश संश्लेषण- रंगीय चालकता स्थिरांक}$, $P_{N-E-RN} = N$ वें अनुप्रयोग के लिये उत्स्वेदन से कलित प्रकाश संश्लेषण, $P_{N-gs-RN} = N$ वें अनुप्रयोग के लिये रंगीय चालकता से कलित प्रकाश संश्लेषण

सारणी 5: जलाक्रान्त दशा के लिए प्रकाश संश्लेषण एवं रंगीय चालकता से उत्स्वेदन की गणना।

L_P	E_RN			E_mean	P_N mean	g_s mean	$\lambda_{PN\mu E} = (E_{\text{mean}} / P_N \text{ mean})$	$\lambda_{g_{S\mu E}} = (E_{\text{mean}} / g_s \text{ mean})$	E_PN-RN			E_gs-RN		
	E_R1	E_R2	E_R3						E_PN-R1	E_PN-R2	E_PN-R3	E_gs-R1	E_gs-R2	E_gs-R3
1	0.15	0.22	0.20	0.19	0.20	3.00	0.95	0.06	0.10	0.29	0.19	0.13	0.25	0.19
2	0.25	0.30	0.29	0.28	0.40	4.67	0.70	0.06	0.28	0.21	0.35	0.18	0.30	0.36
3	0.46	0.53	0.55	0.51	0.93	10.33	0.55	0.05	0.50	0.55	0.50	0.55	0.45	0.55
4	0.75	0.81	0.78	0.78	1.87	14.33	0.42	0.05	0.75	0.84	0.75	0.71	0.82	0.82
5	1.24	1.35	1.31	1.30	2.17	23.33	0.60	0.06	1.14	1.26	1.50	1.11	1.39	1.39
6	2.08	2.48	2.67	2.41	5.97	69.00	0.40	0.03	2.38	2.34	2.50	2.27	2.44	2.51
7	1.86	1.94	1.90	1.90	5.03	48.00	0.38	0.04	1.85	1.93	1.93	1.78	2.02	1.90
8	1.01	1.10	1.22	1.11	3.40	42.00	0.33	0.03	1.01	1.14	1.18	1.00	1.19	1.14
9	0.91	0.99	0.95	0.95	2.83	29.67	0.34	0.03	0.87	1.01	0.97	0.80	0.99	1.06
10	0.72	0.79	0.99	0.83	2.13	23.33	0.39	0.04	0.74	0.98	0.78	0.75	0.89	0.86
11	0.50	0.54	0.52	0.52	1.90	10.67	0.27	0.05	0.44	0.57	0.55	0.44	0.54	0.59
12	0.32	0.44	0.41	0.39	1.30	6.00	0.30	0.07	0.36	0.42	0.39	0.26	0.46	0.46

कृष्ण कुमार वर्मा, छेदीलाल वर्मा, मुन्ना सिंह, यश पाल सिंह, टी. दामोदरन, ए. के. सिंह, विनय कुमार मिश्र

$L_P = \text{पर्ण स्थित}, E_{RN} = N$ वें अनुप्रयोग का उत्स्वेदन दर, $P_{\text{औसत}} = \text{अनुप्रयोगों का औसत प्रकाश संश्लेषण}, E_{\text{औसत}} = \text{अनुप्रयोगों का औसत उत्स्वेदन}, g_{S\text{औसत}} = \text{अनुप्रयोगों का औसत रंगीय चालकता}, \lambda_{(E_\mu PN)} = \text{उत्स्वेदन} \mu \text{शुद्ध कार्बन डाईआक्साइड स्वांगीकरण स्थिरांक}, \lambda_{(g_{S\mu} E)} = \text{उत्स्वेदन} \mu \text{रंगीय चालकता स्थिरांक}, E_{PN\mu RN} = N$ वें अनुप्रयोग के लिये प्रकाश संश्लेषण से कलित उत्स्वेदन दर, $E_{g_{S\mu} RN} = N$ वें अनुप्रयोग के लिये रंगीय चालकता से उत्स्वेदन दर

सारणी 6: जलाक्रान्ति दशा के लिए प्रकाश संश्लेषण एवं उत्स्वेदन से रंगीय चालकता की गणना।

L _P	g _S RN			g _S mean	P _N mean	E _{mean}	$\lambda_{PN\mu gs} = (g_S \text{ mean} / P_N \text{ mean})$	$\lambda_{E\mu gs} = (g_S \text{ mean} / E_{\text{mean}})$	g _S PN-RN			g _S E-RN		
	g _S R1	g _S R2	g _S R3						g _S PN-R1	g _S PN-R2	g _S PN-R3	g _S E-R1	g _S E-R2	g _S E-R3
1	2	4	3	3.00	0.20	0.19	15.00	15.79	1.50	4.50	3.00	2.37	3.47	3.16
2	3	5	6	4.67	0.40	0.28	11.67	16.67	4.67	3.50	5.83	4.17	5.00	4.83
3	11	9	11	10.33	0.93	0.51	11.07	20.13	9.96	11.07	9.96	9.26	10.67	11.07
4	13	15	15	14.33	1.87	0.78	7.68	18.38	13.82	15.36	13.82	13.78	14.88	14.33
5	20	25	25	23.33	2.17	1.30	10.77	17.95	20.46	22.62	26.92	22.26	24.23	23.51
6	65	70	72	69.00	5.97	2.41	11.56	28.63	68.23	67.07	71.70	59.55	71.00	76.44
7	45	51	48	48.00	5.03	1.90	9.54	25.26	46.73	48.64	48.64	46.99	49.01	48.00
8	38	45	43	42.00	3.40	1.11	12.35	37.84	38.29	43.24	44.47	38.22	41.62	46.16
9	25	31	33	29.67	2.83	0.95	10.47	31.23	27.22	31.41	30.36	28.42	30.92	29.67
10	21	25	24	23.33	2.13	0.83	10.94	28.00	20.78	27.34	21.88	20.16	22.12	27.72
11	9	11	12	10.67	1.90	0.52	5.61	20.51	8.98	11.79	11.23	10.26	11.08	10.67
12	4	7	7	6.00	1.30	0.39	4.62	15.38	5.54	6.46	6.00	4.92	6.77	6.31

$L_P = \text{पर्ण स्थित}, g_{S\text{RN}} = N$ वें अनुप्रयोग की रंगीय चालकता, $P_{\text{औसत}} = \text{अनुप्रयोगों का औसत प्रकाश संश्लेषण}, E_{\text{औसत}} = \text{अनुप्रयोगों का औसत उत्स्वेदन}, g_{S\text{औसत}} = \text{अनुप्रयोगों का औसत रंगीय चालकता}, \lambda_{(g_{S\mu} PN)} = \text{रंगीय चालकता} \mu \text{शुद्ध कार्बन डाईआक्साइड स्वांगीकरण स्थिरांक}, \lambda_{(g_{S\mu} E)} = \text{रंगीय चालकता उत्स्वेदन स्थिरांक}, g_{S\mu RN} = N$ वें अनुप्रयोग के लिये प्रकाश संश्लेषण से कलित रंगीय चालकता, $g_{g E\mu RN} = N$ वें अनुप्रयोग के लिये उत्स्वेदन दर से कलित रंगीय चालकता

सारणी 7: सामान्य दशा के लिए कलित प्रकाश संश्लेषण का प्रेक्षित मान से विचलन।

L _P	अनुप्रयोग -1			अनुप्रयोग -2				अनुप्रयोग -3				
	P _N O-R1	P _{NE} _μ R1	(P _N O-R1 - P _{NE} _μ R1) ²	% dev	P _N O-R2	P _{NE} _μ R2	(P _N O-R2 - P _{NE} _μ R2) ²	% dev	P _N O-R3	P _{NE} →R3	(P _N O-R3 - P _{NE} _μ R3) ²	% dev
A)	उत्स्वेदन से प्रकाश संश्लेषण											
1	0.8	0.9300	0.0169	-16.25	1.1	1.0747	0.0006	2.30	1.2	1.0953	0.0110	8.73
2	1.1	1.2250	0.0156	-11.36	1.3	1.3000	0.0000	0.00	1.4	1.2750	0.0156	8.93
3	2.7	2.7965	0.0093	-3.57	2.8	2.7597	0.0016	1.44	3.0	2.9437	0.0032	1.88
4	5.1	5.6801	0.3365	-11.37	5.5	5.3056	0.0378	3.53	5.4	5.0143	0.1488	7.14
5	6.5	6.5211	0.0004	-0.32	6.9	6.7488	0.0229	2.19	6.7	6.8301	0.0169	-1.94
6	14.0	13.670	0.1084	2.35	13.8	13.913	0.0128	-0.82	13.6	13.816	0.0467	-1.59
7	12.8	12.298	0.2516	3.92	13.2	13.229	0.0009	-0.22	13.1	13.572	0.2231	-3.61
8	9.8	9.7322	0.0046	0.69	9.6	9.5471	0.0028	0.55	9.2	9.3207	0.0146	-1.31
9	8.8	8.3995	0.1604	4.55	8.5	8.6920	0.0369	-2.26	8.4	8.6085	0.0435	-2.48
10	7.1	7.7146	0.3778	-8.66	7.9	7.8010	0.0098	1.25	8.0	7.4844	0.2659	6.45
11	3.5	3.3233	0.0312	5.05	3.3	3.4100	0.0121	-3.33	3.3	3.3667	0.0044	-2.02

गणितीय प्रतिरूप द्वारा मुख्य पादप कार्षिकी अनुक्रियाओं का पूर्वांकलन

12	2.5	3.0046	0.2546	- 20.1 8	2.9	2.8324	0.0046	2.33	2.8	2.3630	0.1910	15.6 1
$\Sigma(\text{dev})^2$			1.5675	7.36			0.1427	1.69			0.9846	5.14
$[\sum(\text{dev})^2/n]$			0.1306				0.0119				0.0820	
$[\sum(\text{dev})^2/n]^{0.5}$			0.3614				0.1091				0.2864	
	P _{NO-R1}	P _{Ngs_μR1}	(P _{NO-R1} - P _{Ngs_μR1}) ²	% dev	P _{NO-R2}	P _{Ngs_μR2}	(P _{NO-R2} - P _{Ngs_μR2}) ²	% dev	P _{NO-R3}	P _{Ngs_μR3}	(P _{NO-R3} - P _{Ngs→R3}) ²	% dev
B)	रंगीय चालकता से प्रकाश संश्लेषण											
1	0.8	0.8000	0.0000	0.00	1.1	1.1000	0.0000	0.00	1.2	1.2000	0.0000	0.00
2	1.1	1.1460	0.0021	-4.18	1.3	1.3270	0.0007	-2.08	1.4	1.3270	0.0053	5.21
3	2.7	2.9060	0.0424	-7.63	2.8	2.9786	0.0319	-6.38	3.0	2.6154	0.1479	12.8 2
4	5.1	5.4118	0.0972	-6.11	5.5	5.1765	0.1047	5.88	5.4	5.4118	0.0001	-0.22
5	6.5	6.5210	0.0004	-0.32	6.9	6.8279	0.0052	1.04	6.7	6.7511	0.0026	-0.76
6	14.0	14.622	0.3875	-4.45	13.8	12.977	0.6765	5.96	13.6	13.800	0.0400	-1.47
7	12.8	11.979	0.6738	6.41	13.2	13.416	0.0469	-1.64	13.1	13.704	0.3650	-4.61
8	9.8	9.2557	0.2963	5.55	9.6	11.014	2.0001	- 14.7 3	9.2	8.3301	0.7567	9.46
9	8.8	7.9690	0.6906	9.44	8.5	8.8655	0.1336	-4.30	8.4	8.8655	0.2167	-5.54
10	7.1	7.0614	0.0015	0.54	7.9	8.0702	0.0290	-2.15	8.0	7.8684	0.0173	1.65
11	3.5	3.2024	0.0885	8.50	3.3	3.5309	0.0533	-7.00	3.3	3.3667	0.0044	-2.02
12	2.5	2.4118	0.0078	3.53	2.9	2.9906	0.0082	-3.12	2.8	2.7976	0.0000	0.09
$\Sigma(\text{dev})^2$			2.2882	4.72			3.0901	2.90			1.5562	2.38
$[\sum(\text{dev})^2/n]$			0.1907				0.2575				0.1297	
$[\sum(\text{dev})^2/n]^{0.5}$			0.4367				0.5075				0.3601	

सारणी 8: सामान्य दशा के लिए कलित उत्स्वेदन का प्रेक्षित मान से विचलन ।

L _p	अनुप्रयोग -1			अनुप्रयोग -2				अनुप्रयोग -3				
	E _{O-R1}	E _{PN_μR1}	(E _{O-R1} - E _{PN_μR1}) ²	% dev	E _{O-R2}	E _{PN_μR2}	(E _{O-R2} - E _{PN_μR2}) ²	% dev	E _{O-R3}	E _{PN→R3}	(E _{O-R3} - E _{PN→R3}) ²	% dev
A)	प्रकाश संश्लेषण से उत्स्वेदन											
1	0.45	0.3871	0.0040	13.98	0.52	0.5323	0.0002	-2.37	0.53	0.5806	0.0026	-9.55
2	0.49	0.4400	0.0025	10.20	0.52	0.5200	0.0000	0.00	0.51	0.5600	0.0025	-9.80
3	2.28	2.2013	0.0062	3.45	2.25	2.2828	0.0011	-1.46	2.40	2.4459	0.0021	-1.91
4	2.73	2.4512	0.0777	10.21	2.55	2.6434	0.0087	-3.66	2.41	2.5954	0.0344	-7.69
5	4.01	3.9970	0.0002	0.32	4.15	4.2430	0.0086	-2.24	4.20	4.1200	0.0064	1.90
6	5.64	5.7758	0.0185	-2.41	5.74	5.6933	0.0022	0.81	5.70	5.6108	0.0080	1.56
7	5.02	5.2248	0.0419	-4.08	5.40	5.3880	0.0001	0.22	5.54	5.3472	0.0372	3.48
8	4.73	4.7629	0.0011	-0.70	4.64	4.6657	0.0007	-0.55	4.53	4.4713	0.0034	1.30
9	4.02	4.2117	0.0367	-4.77	4.16	4.0681	0.0084	2.21	4.12	4.0202	0.0100	2.42
10	2.68	2.4665	0.0456	7.97	2.71	2.7444	0.0012	-1.27	2.60	2.7791	0.0321	-6.89
11	2.30	2.4223	0.0150	-5.32	2.36	2.2839	0.0058	3.22	2.33	2.2839	0.0021	1.98
12	1.92	1.5976	0.1040	16.79	1.81	1.8532	0.0019	-2.39	1.51	1.7893	0.0780	- 18.50
$\Sigma(\text{dev})^2$			0.3533	5.80			0.0389	1.70			0.2187	5.58
$[\sum(\text{dev})^2/n]$			0.0294				0.0032				0.0182	
$[\sum(\text{dev})^2/n]^{0.5}$			0.1716				0.0569				0.1350	
	E _{O-R1}	E _{gs_μR1}	(E _{O-R1} - E _{gs_μR1}) ²	% dev	E _{O-R2}	E _{gs→R2}	(E _{O-R2} - E _{gs→R2}) ²	% dev	E _{O-R3}	E _{gs_μR3}	(E _{O-R3} - E _{gs→R3}) ²	% dev

B)	रंधीय चालकता से उत्त्वेदन											
1	0.45	0.3871	0.0040	13.98	0.52	0.5323	0.0002	-2.37	0.53	0.5806	0.0026	-9.55
2	0.49	0.4584	0.0010	6.45	0.52	0.5308	0.0001	-2.08	0.51	0.5308	0.0004	-4.08
3	2.28	2.3692	0.0080	-3.91	2.25	2.4285	0.0318	-7.93	2.40	2.1323	0.0717	11.15
4	2.73	2.6010	0.0166	4.73	2.55	2.4879	0.0039	2.44	2.41	2.6010	0.0365	-7.93
5	4.01	4.0099	0.0000	0.00	4.15	4.1986	0.0024	-1.17	4.20	4.1515	0.0024	1.15
6	5.64	6.0327	0.1542	-6.96	5.74	5.3540	0.1490	6.72	5.70	5.6933	0.0000	0.12
7	5.02	4.8897	0.0170	2.60	5.40	5.4765	0.0058	-1.42	5.54	5.5938	0.0029	-0.97
8	4.73	4.4984	0.0536	4.90	4.64	5.3531	0.5085	-	4.53	4.0485	0.2318	10.63
								15.37				
9	4.02	3.8140	0.0425	5.12	4.16	4.2430	0.0069	-2.00	4.12	4.2430	0.0151	-2.99
10	2.68	2.4531	0.0515	8.47	2.71	2.8035	0.0087	-3.45	2.60	2.7334	0.0178	-5.13
11	2.30	2.2163	0.0070	3.64	2.36	2.4437	0.0070	-3.55	2.33	2.3300	0.0000	0.00
12	1.92	1.5412	0.1435	19.73	1.81	1.9111	0.0102	-5.59	1.51	1.7878	0.0772	-18.40
$\Sigma(\text{dev})^2$			0.4988	6.71			0.7345	4.51			0.4583	6.01
$[\sum(\text{dev})^2/n]$			0.0416				0.0612				0.0382	
$[\sum(\text{dev})^2/n]^{0.5}$			0.2039				0.2474				0.1954	

सारणी 9: सामान्य दशा के लिए कलित रंधीय चालकता का प्रेक्षित मान से विचलन ।

L _p	अनुप्रयोग -1			अनुप्रयोग -2			अनुप्रयोग -3					
	g _{s0-R1}	g _{sPNμR1}	(g _{s0-R1} - g _{sPNμR1}) ²	% dev	g _{s0-R2}	g _{sPNμR2}	(g _{s0-R2} - g _{sPNμR2}) ²	% dev	g _{s0-R3}	g _{sPNμR3}	(g _{s0-R3} - g _{sPNμR3}) ²	% dev
A)	प्रकाश संश्लेषण से रंधीय चालकता											
1	8	8.0000	0.0000	0.00	11	11.0000	0.0000	0.00	12	12.0000	0.0000	0.00
2	19	18.2368	0.5824	4.02	22	21.5526	0.2001	2.03	22	23.2105	1.4654	-5.50
3	40	37.1647	8.0389	7.09	41	38.5412	6.0458	6.00	36	41.2941	28.0277	-14.7 1
4	46	43.3500	7.0225	5.76	44	46.7500	7.5625	-6.25	46	45.9000	0.0100	0.22
5	85	84.7264	0.0749	0.32	89	89.9403	0.8842	-1.06	88	87.3333	0.4444	0.76
6	16 0	153.188 4	46.3978	4.26	14 2	151.000 0	81.0000	-6.34	15 1	148.811 6	4.7891	1.45
7	12 5	133.565 2	73.3629	-6.85	14 0	137.739 1	5.1115	1.61	14 3	136.695 7	39.7448	4.41
8	10 0	105.881 1	34.5876	-5.88	11 9	103.720 3	233.469 9	12.8 4	90	99.3986	88.3337	-10.4 4
9	80	88.3424	69.5958	-10.4 3	89	85.3307	13.4635	4.12	89	84.3268	21.8383	5.25
10	70	70.3826	0.1464	-0.55	80	78.3130	2.8458	2.11	78	79.3043	1.7013	-1.67
11	39	42.6238	13.1317	-9.29	43	40.1881	7.9067	6.54	41	40.1881	0.6592	1.98
12	25	25.9146	0.8366	-3.66	31	30.0610	0.8818	3.03	29	29.0244	0.0006	-0.08
$\Sigma(\text{dev})^2$			253.777 4	4.84			359.371 7	4.33			187.014 5	3.87
$[\sum(\text{dev})^2/n]$			21.1481				29.9476				15.5845	
$[\sum(\text{dev})^2/n]^0$			4.5987				5.4724				3.9477	
	g _{s0-R1}	g _{sEPμR1}	(g _{s0-R1} - g _{sEPμR1}) ²	% dev	g _{s0-R2}	g _{sEPμR2}	(g _{s0-R2} - g _{sEPμR2}) ²	% dev	g _{s0-R3}	g _{sEPμR3}	(g _{s0-R3} - g _{sEPμR3}) ²	% dev
B)	उत्त्वेदन से रंधीय चालकता											
1	8	9.3000	1.6900	-16.2 5	11	10.7467	0.0642	2.30	12	10.9533	1.0955	8.72
2	19	20.3092	1.7140	-6.89	22	21.5526	0.2001	2.03	22	21.1382	0.7428	3.92

गणितीय प्रतिरूप द्वारा मुख्य पादप कार्षिकी अनुक्रियाओं का पूर्वांकलन

3	40	38.4935	2.2695	3.77	41	37.9870	9.0781	7.35	36	40.5195	20.4257	- 12.5 5
4	46	48.2809	5.2024	-4.96	44	45.0975	1.2046	-2.49	46	42.6216	11.4137	7.34
5	85	85.0016	0.0000	0.00	89	87.9693	1.0624	1.16	88	89.0291	1.0591	-1.17
6	16 0	149.585 5	108.462 2	6.51	14 2	152.237	104.810 6	-7.21	15 1	151.176 8	0.0313	-0.12
7	12 5	128.330 8	11.0944	-2.66	14 0	138.045	3.8216	1.40	14 3	141.624 1	1.8932	0.96
8	10 0	105.148 9	26.5114	-5.15	11 9	103.148	251.279 5	13.3 2	90	100.702 9	114.551 6	- 11.8 9
9	80	84.3220	18.6793	-5.40	89	87.2585	3.0327	1.96	89	86.4195	6.6589	2.90
10	70	76.4756	41.9333	-9.25	80	77.3317	7.1200	3.34	78	74.1927	14.4952	4.88
11	39	40.4721	2.1671	-3.77	43	41.5279	2.1671	3.42	41	41.0000	0.0000	0.00
12	25	31.1450	37.7615	- 24.5 8	31	29.3607	2.6873	5.29	29	24.4943	20.3016	15.5 4
$\Sigma(\text{dev})^2$			253.777 4	7.43			359.371 7	4.27			187.014 5	5.83
$[\Sigma(\text{dev})^2/n]$			21.4571				32.2107				16.0557	
$[\Sigma(\text{dev})^2/n]^{0.5}$			4.6322				5.6754				4.0070	

सारणी 10: जलाक्रान्त दशा के लिए कलित प्रकाश संश्लेषण का प्रेक्षित मान से विचलन ।

L _P	अनुप्रयोग -1				अनुप्रयोग -2				अनुप्रयोग -3			
	P _N 0-R1	P _{NEμR1}	(P _{NO-R1} - P _{NEμR1}) ²	% dev	P _{NO-} R2	P _{NEμR2}	(P _{NO-R2} - P _{NEμR2}) ²	% dev	P _{NO-} R3	P _{NE→R3}	(P _{NO-R3} - P _{NE→R3}) ²	% dev
A)	उत्स्थेदन से प्रकाश संश्लेषण											
1	0.1	0.1579	0.0034	- 57.90	0.3	0.2316	0.0047	22.80	0.2	0.2105	0.0001	-5.25
2	0.4	0.3571	0.0018	10.73	0.3	0.4286	0.0165	- 42.87	0.5	0.4143	0.0073	17.14
3	0.9	0.8364	0.0040	7.07	1.0	0.9636	0.0013	3.64	0.9	1.0000	0.0100	- 11.11
4	1.8	1.7949	0.0000	0.28	2.0	1.9385	0.0038	3.08	1.8	1.8667	0.0044	-3.71
5	1.9	2.0667	0.0278	-8.77	2.1	2.2500	0.0225	-7.14	2.5	2.1833	0.1003	12.67
6	5.9	5.1497	0.5630	12.72	5.8	6.1400	0.1156	-5.86	6.2	6.6104	0.1684	-6.62
7	4.9	4.9274	0.0007	-0.56	5.1	5.1393	0.0015	-0.77	5.1	5.0333	0.0044	1.31
8	3.1	3.0937	0.0000	0.20	3.5	3.3694	0.0171	3.73	3.6	3.7369	0.0188	-3.80
9	2.6	2.7140	0.0130	-4.38	3.0	2.9526	0.0022	1.58	2.9	2.8333	0.0044	2.30
10	1.9	1.8432	0.0032	2.99	2.5	2.0224	0.2281	19.10	2.0	2.5344	0.2856	- 26.72
11	1.6	1.8269	0.0515	- 14.18	2.1	1.9731	0.0161	6.04	2.0	1.9000	0.0100	5.00
12	1.2	1.0667	0.0178	11.11	1.4	1.4667	0.0044	-4.76	1.3	1.3667	0.0044	-5.13
$\Sigma(\text{dev})^2$			0.6864	10.91			0.4339	10.11			0.6183	8.40
$[\Sigma(\text{dev})^2/n]$			0.0572				0.0362				0.0515	
$[\Sigma(\text{dev})^2/n]^{0.5}$			0.2392				0.1902				0.2270	
	P _N 0-R1	P _{NgσμR1}	(P _{NO-R1} - P _{NgσμR1}) ²	% dev	P _{NO-} R2	P _{NgσμR2}	(P _{NO-R2} - P _{NgσμR2}) ²	% dev	P _{NO-} R3	P _{NgσμR3}	(P _{NO-R3} - P _{NgσμR3}) ²	% dev
B)	रघ्नीय चालकता से प्रकाश संश्लेषण											
1	0.1	0.1333	0.0011	- 33.30	0.3	0.2667	0.0011	11.10	0.2	0.2000	0.0000	0.00
2	0.4	0.2571	0.0204	35.73	0.3	0.4286	0.0165	- 42.87	0.5	0.5143	0.0002	-2.86

3	0.9	0.9935	0.0088	- 10.39	1.0	0.8129	0.0350	18.71	0.9	0.9935	0.0088	- 10.39
4	1.8	1.6930	0.0114	5.94	2.0	1.9535	0.0022	2.33	1.8	1.9535	0.0236	-8.53
5	1.9	1.8571	0.0018	2.26	2.1	2.3214	0.0490	- 10.54	2.5	2.3214	0.0319	7.14
6	5.9	5.6208	0.0780	4.73	5.8	6.0531	0.0641	-4.36	6.2	6.2261	0.0007	-0.42
7	4.9	4.7188	0.0329	3.70	5.1	5.3479	0.0615	-4.86	5.1	5.0333	0.0044	1.31
8	3.1	3.0762	0.0006	0.77	3.5	3.6429	0.0204	-4.08	3.6	3.4810	0.0142	3.31
9	2.6	2.3876	0.0451	8.17	3.0	2.9607	0.0015	1.31	2.9	3.1517	0.0633	-8.68
10	1.9	1.9200	0.0004	-1.05	2.5	2.2857	0.0459	8.57	2.0	2.1943	0.0377	-9.72
11	1.6	1.6031	0.0000	-0.19	2.1	1.9594	0.0198	6.70	2.0	2.1375	0.0189	-6.88
12	1.2	0.8667	0.1111	27.78	1.4	1.5167	0.0136	-8.34	1.3	1.5167	0.0469	- 16.67
$\Sigma(\text{dev})^2$			0.3116	11.17			0.3306	10.31			0.2506	6.33
$[\Sigma(\text{dev})^2/n]$			0.0260				0.0276				0.0209	
$[\Sigma(\text{dev})^2/n]^{0.5}$			0.1611				0.1660				0.1445	

सारणी 11: जलाकान्त दशा के लिए कलित उत्स्वेदन का प्रेक्षित मान से विचलन ।

L _P	अनुप्रयोग -1				अनुप्रयोग -2				अनुप्रयोग -3			
	E _{O-R1}	E _{PNμR1}	(E _{O-R1} - E _{PNμR1}) ²	% dev	E _{O-R2}	E _{PNμR2}	(E _{O-R2} - E _{PNμR2}) ²	% dev	E _{O-R3}	E _{PN→R3}	(E _{O-R3} - E _{PN→R3}) ²	% dev
A)	प्रकाश संश्लेषण से उत्स्वेदन											
1	0.15	0.0950	0.0030	36.67	0.22	0.2850	0.0042	- 29.55	0.20	0.1900	0.0001	5.00
2	0.25	0.2800	0.0009	- 12.00	0.30	0.2100	0.0081	30.00	0.29	0.3500	0.0036	- 20.69
3	0.46	0.4950	0.0012	-7.61	0.53	0.5500	0.0004	-3.77	0.55	0.4950	0.0030	10.00
4	0.75	0.7521	0.0000	-0.28	0.81	0.8357	0.0007	-3.17	0.78	0.7521	0.0008	3.58
5	1.24	1.1400	0.0100	8.06	1.35	1.2600	0.0081	6.67	1.31	1.5000	0.0361	- 14.50
6	2.08	2.3831	0.0919	- 14.57	2.48	2.3427	0.0189	5.54	2.67	2.5042	0.0275	6.21
7	1.86	1.8497	0.0001	0.55	1.94	1.9252	0.0002	0.76	1.90	1.9252	0.0006	-1.33
8	1.01	1.0121	0.0000	-0.21	1.10	1.1426	0.0018	-3.87	1.22	1.1753	0.0020	3.66
9	0.91	0.8718	0.0015	4.20	0.99	1.0059	0.0003	-1.61	0.95	0.9724	0.0005	-2.36
10	0.72	0.7422	0.0005	-3.08	0.79	0.9766	0.0348	- 23.62	0.99	0.7813	0.0436	21.08
11	0.50	0.4379	0.0039	12.42	0.54	0.5747	0.0012	-6.43	0.52	0.5474	0.0007	-5.27
12	0.32	0.3600	0.0016	- 12.50	0.44	0.4200	0.0004	4.55	0.41	0.3900	0.0004	4.88
$\Sigma(\text{dev})^2$			0.1145	9.35			0.0790	9.96			0.1189	8.21
$[\Sigma(\text{dev})^2/n]$			0.0095				0.0066				0.0099	
$[\Sigma(\text{dev})^2/n]^{0.5}$			0.0977				0.0812				0.0996	
	E _{O-R1}	E _{gsμR1}	(E _{O-R1} - E _{gsμR1}) ²	% dev	E _{O-R2}	E _{gs→R2}	(E _{O-R2} - E _{gsμR2}) ²	% dev	E _{O-R3}	E _{gsμR3}	(E _{O-R3} - E _{gs→R3}) ²	% dev
B)	रंगीय चालकता से उत्स्वेदन											
1	0.15	0.1267	0.0005	15.53	0.22	0.2533	0.0011	- 15.14	0.20	0.1900	0.0001	5.00
2	0.25	0.1800	0.0049	28.00	0.30	0.3000	0.0000	0.00	0.29	0.3600	0.0049	- 24.14
3	0.46	0.5465	0.0075	- 18.80	0.53	0.4471	0.0069	15.64	0.55	0.5465	0.0000	0.64
4	0.75	0.7074	0.0018	5.68	0.81	0.8163	0.0000	-0.78	0.78	0.8163	0.0013	-4.65
5	1.24	1.1143	0.0158	10.14	1.35	1.3929	0.0018	-3.18	1.31	1.3929	0.0069	-6.33
6	2.08	2.2703	0.0362	-9.15	2.48	2.4449	0.0012	1.42	2.67	2.5148	0.0241	5.81
7	1.86	1.7813	0.0062	4.23	1.94	2.0188	0.0062	-4.06	1.90	1.9000	0.0000	0.00

गणितीय प्रतिरूप द्वारा मुख्य पादप कार्षिकी अनुक्रियाओं का पूर्वांकिलन

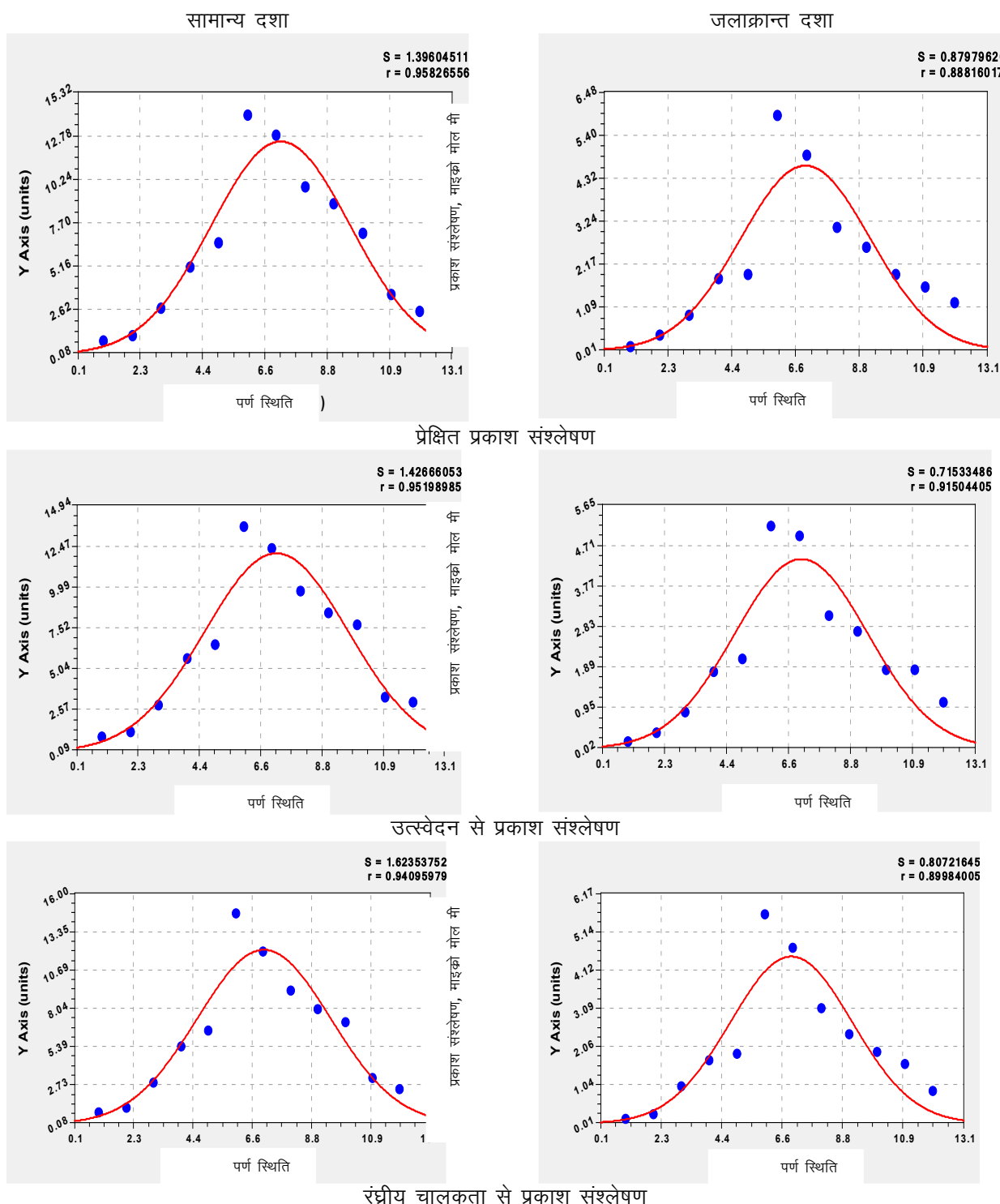
8	1.01	1.0043	0.0000	0.56	1.10	1.1893	0.0080	-8.12	1.22	1.1364	0.0070	6.85
9	0.91	0.8006	0.0120	12.02	0.99	0.9927	0.0000	-0.27	0.95	1.0567	0.0114	- 11.23
10	0.72	0.7500	0.0009	-4.17	0.79	0.8929	0.0106	-	0.99	0.8571	0.0177	13.42
11	0.50	0.4388	0.0038	12.24	0.54	0.5363	0.0000	0.69	0.52	0.5850	0.0042	- 12.50
12	0.32	0.2600	0.0036	18.75	0.44	0.4550	0.0002	-3.41	0.41	0.4550	0.0020	- 10.98
$\Sigma(\text{dev})^2$			0.0932	11.61			0.0361	5.48			0.0796	8.46
$[\Sigma(\text{dev})^2/n]$			0.0078				0.0030				0.0066	
$[\Sigma(\text{dev})^2/n]^{0.5}$			0.0881				0.0548				0.0814	

सारणी 12: जलाक्रान्त दशा के लिए कलित रंगीय चालकता का प्रेक्षित मान से विचलन ।

Leaf position	अनुप्रयोग -1				अनुप्रयोग -2				अनुप्रयोग -3			
	gs _{0-R1}	gs _{PN_μR1}	(gs _{0-R1} - gs _{PN_μR1}) ²	% dev	gs _{0-R2}	gs _{PN_μR2}	(gs _{0-R2} - gs _{PN_μR2}) ²	% dev	gs _{0-R3}	gs _{PN_μR3}	(gs _{0-R3} - gs _{PN_μR3}) ²	% dev
A)	प्रकाश संस्थेषण से रंगीय चालकता											
1	2	1.5000	0.2500	25.00	4	4.5000	0.2500	-	3	3.00	0.0000	0.00
2	3	4.6667	2.7778	- 55.56	5	3.5000	2.2500	30.00	6	5.83	0.0278	2.83
3	11	9.9643	1.0727	9.42	9	11.0714	4.2908	-	11	9.96	1.0727	9.45
4	13	13.8214	0.6747	-6.32	15	15.3571	0.1276	-2.38	15	13.82	1.3890	7.87
5	20	20.4615	0.2130	-2.31	25	22.6154	5.6864	9.54	25	26.92	3.6982	-7.68
6	65	68.2291	10.4268	-4.97	70	67.0726	8.5695	4.18	72	71.70	0.0910	0.42
7	45	46.7285	2.9876	-3.84	51	48.6358	5.5896	4.64	48	48.64	0.4042	-1.33
8	38	38.2941	0.0865	-0.77	45	43.2353	3.1142	3.92	43	44.47	2.1626	-3.42
9	25	27.2235	4.9441	-8.89	31	31.4118	0.1696	-1.33	33	30.36	6.9448	8.00
10	21	20.7813	0.0479	1.04	25	27.3438	5.4932	-9.38	24	21.88	4.5156	8.83
11	9	8.9825	0.0003	0.19	11	11.7895	0.6233	-7.18	12	11.23	0.5959	6.42
12	4	5.5385	2.3669	-	7	6.4615	0.2899	7.69	7	6.00	1.0000	14.29
$\Sigma(\text{dev})^2$			25.8483	13.06			36.4540	9.65			21.9018	5.88
$[\Sigma(\text{dev})^2/n]$			2.1540				3.0378				1.8252	
$[\Sigma(\text{dev})^2/n]^{0.5}$			1.4677				1.7429				1.3510	
	gs _{0-R1}	gs _{E_μR1}	(gs _{0-R1} - gs _{E_μR1}) ²	% dev	gs _{0-R2}	gs _{E_μR2}	(gs _{0-R2} - gs _{E_μR2}) ²	% dev	gs _{0-R3}	gs _{E_μR3}	(gs _{0-R3} - gs _{E_μR3}) ²	% dev
B)	उत्स्वेदन से रंगीय चालकता											
1	2	2.3684	0.1357	- 18.42	4	3.4737	0.2770	13.16	3	3.1579	0.0249	-5.26
2	3	4.1667	1.3611	- 38.89	5	5.0000	0.0000	0.00	6	4.8333	1.3611	19.45
3	11	9.2597	3.0285	15.82	9	10.6688	2.7850	-	11	11.0714	0.0051	-0.65
4	13	13.7821	0.6116	-6.02	15	14.8846	0.0133	0.77	15	14.3333	0.4444	4.44
5	20	22.2564	5.0914	-	25	24.2308	0.5917	3.08	25	23.5128	2.2117	5.95
6	65	59.5519	29.6822	8.38	70	71.0041	1.0083	-1.43	72	76.4440	19.7490	-6.17
7	45	46.9895	3.9580	-4.42	51	49.0105	3.9580	3.90	48	48.0000	0.0000	0.00
8	38	38.2162	0.0467	-0.57	45	41.6216	11.4134	7.51	43	46.1622	9.9993	-7.35
9	25	28.4175	11.6796	-	31	30.9158	0.0071	0.27	33	29.6667	11.1111	10.10
10	21	20.1600	0.7056	4.00	25	22.1200	8.2944	11.52	24	27.7200	13.8384	- 15.50

11	9	10.2564	1.5786	- 13.96	11	11.0769	0.0059	-0.70	12	10.6667	1.7778	11.11
12	4	4.9231	0.8521	- 23.08	7	6.7692	0.0533	3.30	7	6.3077	0.4793	9.89
$\Sigma(\text{dev})^2$			58.7311	13.21			28.4075	5.35			61.0021	7.99
$[\Sigma(\text{dev})^2/n]$			4.8943				2.3673				5.0835	
$[\Sigma(\text{dev})^2/n]^{0.5}$			2.2123				1.5386				2.2547	

प्रकाश संश्लेषण, माइक्रो मोल भी

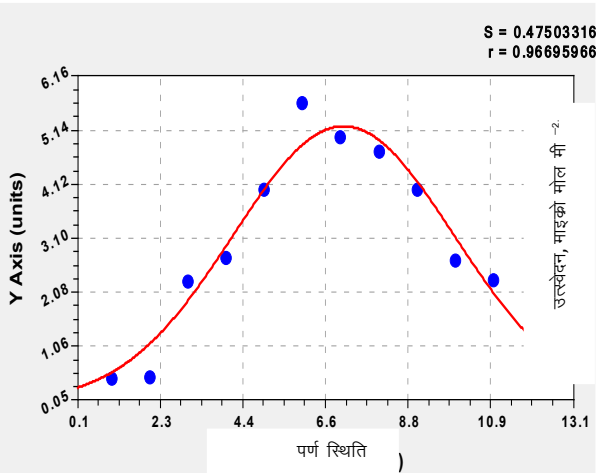


चित्र 1: प्रेक्षित एवं कलित प्रकाश संश्लेषण की तुलना

गणितीय प्रतिरूप द्वारा मुख्य पादप कार्यकी अनुक्रियाओं का पूर्वांकलन

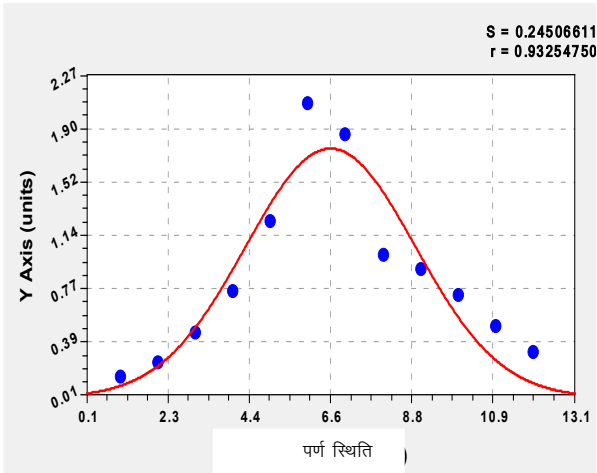
सामान्य दशा

उत्स्वेदन, माइक्रो मोल मी⁻²से⁻¹



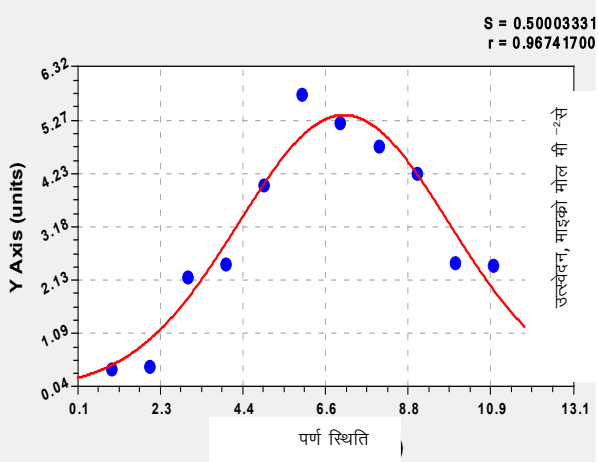
जलाक्रान्त दशा

उत्स्वेदन, माइक्रो मोल मी⁻²से⁻¹

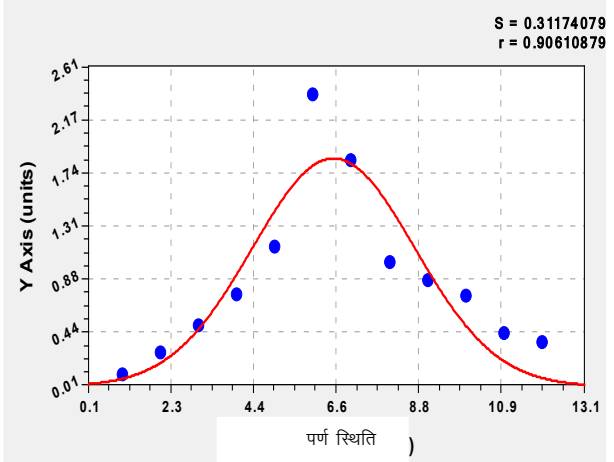


प्रेक्षित उत्स्वेदन

उत्स्वेदन, माइक्रो मोल मी⁻²से⁻¹

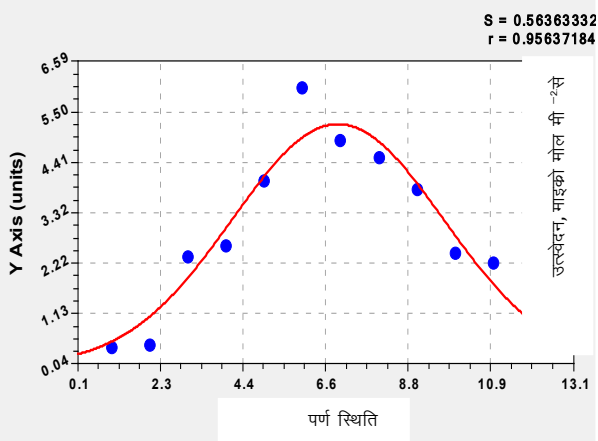


उत्स्वेदन, माइक्रो मोल मी⁻²से⁻¹

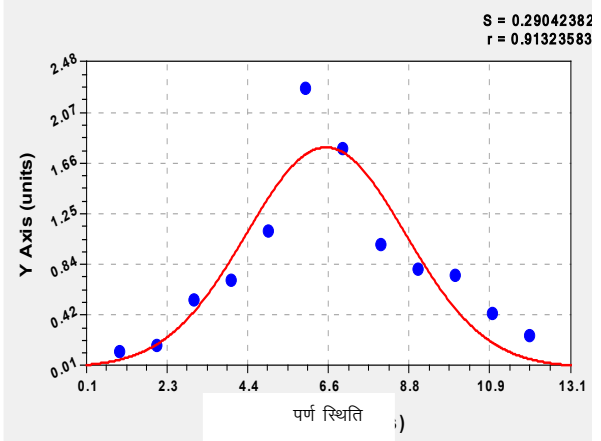


प्रकाश संश्लेषण से उत्स्वेदन

उत्स्वेदन, माइक्रो मोल मी⁻²से⁻¹



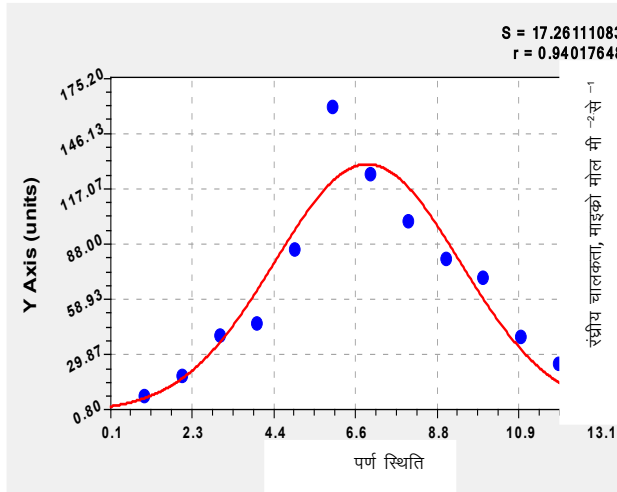
उत्स्वेदन, माइक्रो मोल मी⁻²से⁻¹



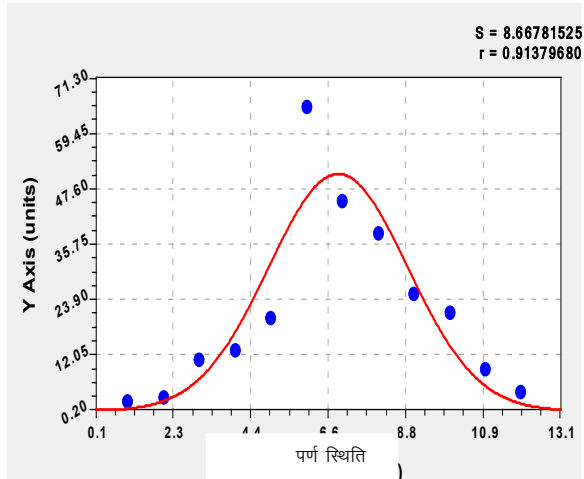
रंधीय चालकता से उत्स्वेदन

चित्र 2: प्रेक्षित एवं कलित उत्स्वेदन की तुलना

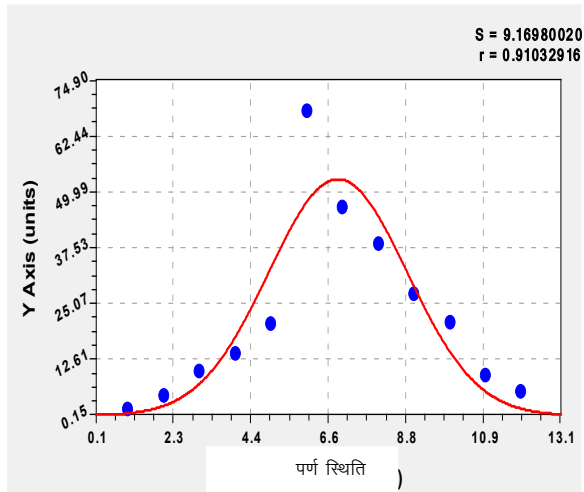
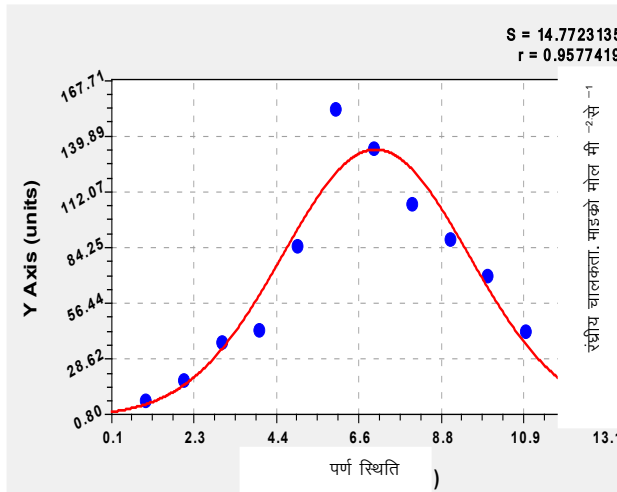
सामान्य दशा



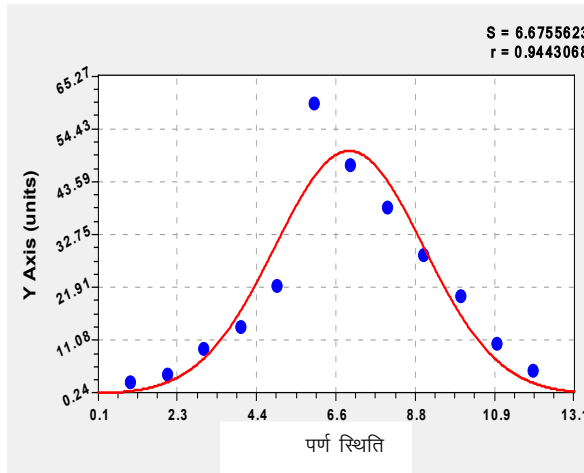
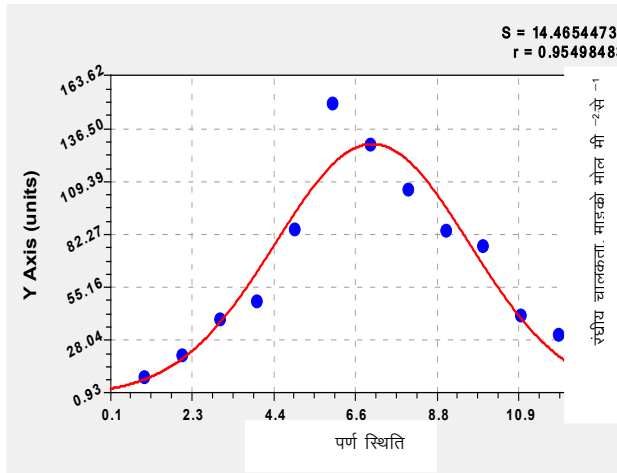
जलाक्रान्त दशा



प्रेक्षित रन्धीय चालकता



प्रकाश संश्लेषण से रन्धीय चालकता



चित्र 3: प्रेक्षित एवं कलित रन्धीय चालकता की तुलना

SOURCES OF FUNDING

None.

CONFLICT OF INTEREST

None.

ACKNOWLEDGMENT

None.

REFERENCES

- [1] एब्राल आई. पी. ;1994द्व. लैण्ड डिग्रेशन- ए चेलेन्ज टू स्स्टेनेबिलिटी. इन: सैलेनिटी मैनेजमेंट फॉर स्स्टेनेबल एग्रिकल्चर, पी पी. 7-8. राव डी.एल.एन., गुप्ता आर.के., त्यागी, एन.के. केन्द्रीय मृदा लवणता अनुसंधान संस्थान, करनाल।
- [2] बॉयर जे.एस. ;1982द्व. प्लांट प्रोडेक्टीविटी एण्ड एनवायरनमेंट. साइंस 218%443-448।
- [3] ग्रावेट डी.ए., क्रिरबी सी.जे. (1998) पैन्टर्स ॲफ फोटोसिंथेसिस एण्ड स्टार्च एलोकेशन इन सीडलिंग्स ॲफ फोर वाटमलैण्ड हार्ड्वुड ट्री स्पेसीज सब्जेक्टेड टू फलांडिंग. ट्री फिजियोल 18:411-417।
- [4] हेलर जे. (1996) फिजिक नियूट. जटरोफा कर्कस एल. प्रोमोटिंग दी कन्जर्वेशन एण्ड यूज ऑफ अण्डरथूटिलाइज्ड एण्ड निगलेक्टेड क्राप्स. इन्टीट्यूट ॲफ प्लॉट जेनेटिक्स क्राप प्लॉट रिसर्च, गेट्सलेबेन, इन्टरनेशनल प्लान्ट्स जेनेटिक्स रिसोर्सेज, इन्टीट्यूट, रोम, इटली।
- [5] जैक्शन एम. बी. 2004. दि इन्येक्ट आफ फालांडिंग स्टेंस आन प्लाट एण्ड क्राप्स. <http://www.plantstress.com/articles/index.asp>।
- [6] श्मूक बी, सेराल्टा-पेराजा एल (1997) जे. कर्कश: डिस्ट्रिब्यूशन एण्ड यूजेज इन दि यूकाटण्ड पेनिनसूला आफ मैक्रिसो इन: ग्यूबिट्ज जी एम, मिटेलबख एम, ट्राबि एम बायोफ्यूल्स एण्ड इन्डस्ट्रिल प्रोडेक्टस फ्राम जटोफा कर्कस. डीबीवीफेरलाग ग्रैज, पीपी: 53-57।
- [7] योरदनोवा आर वाई, पोपोवा एल पी (2007) फ्लांडिंग इनड्यूस्ट्री चेन्जेज इन फोटोस्थेसिंज एण्ड आक्सीडेटियूव स्टेट्स इन मेज़ प्लान्ट्स. आक्टा फिजियोल. प्लान्ट 29:535-541।
- [8] योरदनोवा आर वाई. यूजोनोवा ए., पोपोवा एल पी (2005) इफेट्स आफ सॉर्ट टर्म स्वायल लांडिंग आन स्टोमेटा बिहैवियर एण्ड लीफ गैस एक्सचेंज इन बारले प्लांट्स. बायोल- प्लांट 49:317-319।
- [9] वर्मा कृष्ण कुमार, मुन्ना सिंह, वर्मा छेदीलाल (2012) डेवपलपिंग ए मैथमेटिकल मॉडल फॉर वैरिएशन ॲफ फिजियोलजिकल रिसपान्सेज़ आफ जट्रोफा कर्कस लीक्स डिपेनडिंग आन लीफ पोजिशन. आक्टा फिजियोल. प्लान्ट, डीओआई 10.1007/एस 11 738-012-0941-वाई।